

การวิเคราะห์ความสั่นสะเทือนในเครื่องสูบน้ำแบบใบพัด VIBRATION ANALYSIS OF CENTRIFUGAL PUMP

นายธราธร	วิศวพงศ์พันธ์	รหัส	52361017
นายวรวิทย์	สาริกธรรม์	รหัส	52361260
นายศุภชัย	งามเมือง	รหัส	52361369

ใบอนุญาตเลขที่สั่งการของสำนักงาน
 จำนวนที่รับ..... 2 ตค. 2556
 เลขที่ทะเบียน..... 16430090
 เอกสารเบิกกานบังชื่อ..... ผ.
 นางสาวทักษิณนารถ 882

บริญญา尼พนธ์^{๗๖๖}
เป็นส่วนหนึ่งของการศึกษาหลักสูตรวิศวกรรมศาสตรบัณฑิต^{๗๖๖}
สาขาวิชาวิศวกรรมเครื่องกล ภาควิชาวิศวกรรมเครื่องกล^{๗๖๖}
คณะวิศวกรรมศาสตร์ มหาวิทยาลัยนเรศวร
ปีการศึกษา 2555



แบบเสนอโครงร่างโครงการ

ชื่อหัวข้อโครงการ

การวิเคราะห์ความสั่นสะเทือนในเครื่องสูบน้ำแบบใบพัด

ผู้ดำเนินโครงการ

นายธราธร	วิศวพงศ์พันธ์ รหัส 52361017
นายวรกานต์	สาริกรรณ รหัส 52361260
นายศุภชัย	งามเมือง รหัส 52361369

ที่ปรึกษาโครงการ

ดร.ภาณุ	พุทธวงศ์
วิศวกรรมเครื่องกล	
วิศวกรรมเครื่องกล	
2555	

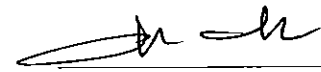
สาขาวิชา

ภาควิชา

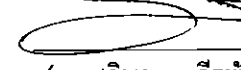
ปีการศึกษา

คณะกรรมการการสอบโครงการ

(ดร.ภาณุ พุทธวงศ์)

 กรรมการ

(ดร.อนันต์ชัย ออย่างก้าว)

 กรรมการ

(ดร.ศลิษา วีระพันธ์)

ชื่อหัวข้อโครงการ	: การวิเคราะห์ความสั่นสะเทือนในเครื่องสูบน้ำแบบใบพัด		
ผู้ดำเนินโครงการ	: นายธราธร นายวรกานต์ นายศุภชัย	วิศวพงษ์พันธ์ รหัส 52361017 สาริกรณ์ รหัส 52361260 งามเนือง รหัส 52361369	
ที่ปรึกษาโครงการ	: ดร.ภาณุ พุทธวงศ์		
สาขาวิชา	: วิศวกรรมเครื่องกล		
ภาควิชา	: วิศวกรรมเครื่องกล		
ปีการศึกษา	: 2555		

บทคัดย่อ

จากการทดลองวัดความสั่นสะเทือนและวิเคราะห์ผลที่ได้ของเครื่องจักรด้วยเครื่อง Detector III ผ่านโปรแกรม Trendline ทำให้เราสามารถทราบถึงขนาดของการสั่นสะเทือนซึ่งจะนำมาเทียบกับมาตรฐาน ISO 10816 ว่าเกินค่ามาตรฐานหรือไม่ และพบว่าทุกภูมิ การเกิด harmonic ของใบพัดเป็นจริงตามทฤษฎี เรายังสามารถประมาณจำนวนใบพัดของปั๊มน้ำที่มีได้จากスペคตรัมของเครื่องจักรนั้นๆ และยังสามารถตรวจสอบการทำงานของชุดมอเตอร์และปั๊มน้ำว่าทำงานอยู่ในสภาพปกติหรือไม่ เพื่อแนะนำการซ่อมและบำรุงรักษาได้ทันท่วงที

ชุดมอเตอร์ขับปั๊มน้ำเย็นของระบบปรับอากาศแบบ Chiller มีทั้งหมด 4 ชุด แต่สามารถใช้งานได้เพียง 2 ชุดคือชุดที่ 1 และชุดที่ 3 ซึ่งจะแบ่งการทำงานออกเป็น 2 ฝั่งคือ ชุดที่ 1 และชุดที่ 2 จะเป็นของฝั่งของภาค ME และชุดที่ 3 และชุดที่ 4 จะเป็นฝั่งของภาค IE และได้ทำการวัดขนาดการสั่นสะเทือนชุดที่ 1 และชุดที่ 3 ได้ผลว่ามีขนาดการสั่นสะเทือนไม่เกินมาตรฐาน ISO 10816 แสดงว่ายังไม่เกิดความเสียหายในลับลูกปืนและยังสามารถทำงานได้เป็นปกติ และชุดปั๊มน้ำสุขาภิบาล มีทั้งหมด 2 ชุด ภายในอาคาร แต่สามารถใช้งานได้เพียง 1 ชุด คือชุดที่ 1 และไม่มีการแบ่งฝั่งการทำงาน จากการวัดขนาดการสั่นสะเทือนชุดที่ 1 พบว่ามีขนาดการสั่นสะเทือนที่เกินค่ามาตรฐาน ISO 10816 อย่างมากชุดตั้งลูกปืนเกิดความเสียหายแล้วถ้ายังไม่มีการซ่อมบำรุงโดยเร็วๆ อาจจะทำให้เกิดความเสียหายขึ้นจนไม่สามารถใช้งานได้อีก ก็จะทำให้น้ำทั้งอาคารไม่เหลือ

PROJECT TITLE	: VIBRATION ANALYSIS OF CENTRIFUGAL PUMP		
Name	: Tharathon	Vissavaphongphan	Code 52361017
	: Worakarn	Sarikan	Code 52361260
	: Supachai	Ngammuang	Code 52361369
Project advisor	: Dr. Panu Putthawong		
Major	: Mechanical Engineering		
Department	: Mechanical Engineering		
Academic year	: 2012		

Abstract

Experimental measurement of vibration and mechanical analysis of the results obtained with the device. Detector III program Trendline allows us to know the size of the vibration, which will be compared with the ISO 10816 standards that exceed the standard or not. And found that the harmonic theory of propeller strikes a theory. We can estimate the number of blades of the water pump from the spectrum of the machine. You can also check the motor and pump that work in normal condition or not. To guide the repair and maintenance in the future.

Motor driven pumps, cooling system, air conditioning Chiller having all four sets, but can be used two sets of Series 1 and Series 3, which will divide the work into two banks of the Series 1 and Series 2 should be side of the ME and Series 3 and Series 4 is a side of the IE and the measurement of vibration Series 1 and Series 3 has a small vibration than standard ISO 10816 that not damage the bearings and also can work as normal. There are two sets of water pumps and sanitation in the buildings, but can only be used one set is set to 1 and does not break the bank. Of the measured vibration Part 1 revealed that the vibration than the standard ISO 10816 is very uniform bearing damage if not serviced as soon as it could be causing more damage to. I can not use it to make. Water does not flow throughout the building.

กิตติกรรมประกาศ (Acknowledgement)

จากการที่รายวิชาโครงการทางวิศวกรรมเครื่องกล บรรจุในหลักสูตรวิศวกรรมศาสตรบัณฑิต มหาวิทยาลัยนเรศวร จึงได้จัดทำโครงการเรื่อง “การวิเคราะห์ความสัมสห์ที่อ่อนในเครื่องสูบน้ำแบบใบพัด”

ในระหว่างการปฏิบัติงานนั้นทำให้กลุ่มของข้าพเจ้าได้รับความรู้ และประสบการณ์ในด้านต่างๆมาก และปริญญานิพนธ์ฉบับนี้จะสำเร็จลงได้ด้วยความช่วยเหลือ และความอนุเคราะห์จาก

- ดร.ภาณุ พุทธวงศ์ อาจารย์ที่ปรึกษาโครงการที่ให้ความช่วยเหลือเกี่ยวกับข้อมูล การทำปริญญานิพนธ์ และคำแนะนำตลอดการทำปริญญานิพนธ์ให้สำเร็จลุล่วงไปได้ด้วยดี
- กรรมการ และคณาจารย์ทุกท่านที่ได้ให้ความรู้ตลอดจนคำแนะนำ
- สมาชิกกลุ่ม และเพื่อนๆทุกคน

และบุคคลท่านอื่นๆที่ไม่ได้กล่าวนามทุกท่านที่ได้ให้คำแนะนำ ช่วยเหลือในการทำปริญญานิพนธ์ฉบับนี้ สุดท้ายนี้ข้าพเจ้าขอกราบขอบคุณบิดา มารดา ที่คอยช่วยเหลือสนับสนุน และเป็นกำลังใจในการทำโครงการทางวิศวกรรมจนสำเร็จ

คณะผู้จัดทำโครงการ

นายธราธร วิเศวพงศ์พันธ์
นางรากานต์ สาริกธรรม
นายศุภชัย งามเมือง

สารบัญ

หน้า

ใบรับรองปริญญาบัณฑิต

บทคัดย่อ

Abstract

กิตติกรรมประกาศ

สารบัญ

สารบัญตาราง

สารบัญรูปภาพ

สารบัญสัญลักษณ์และอักษรย่อ

บทที่ 1 บทนำ

1.1 ความเป็นมาและความสำคัญของโครงงาน	1
1.2 วัตถุประสงค์ของโครงงาน	1
1.3 ประโยชน์ที่คาดว่าจะได้รับ	1
1.4 ขอบเขตการทำโครงงาน	1
1.5 ขั้นตอนการดำเนินงาน	2
1.6 แผนการดำเนินงาน	2
1.7 รายละเอียดงบประมาณตลอดโครงงาน	3

บทที่ 2 หลักการและทฤษฎี

2.1 มอเตอร์ไฟฟ้า	4
2.1.1 ตัวบล็อกปืน	4
ก. เจอร์นัลเบริง (Journal Bearing)	4
ข. โรลลิ่งเบริง (Rolling Bearing or Anti-friction Bearing)	5
2.1.2 การใช้สายพาน	5
2.2 การสั่นสะเทือน	6
2.2.1 ความถี่ธรรมชาติ	6
2.2.2 เรโซเนนซ์	6
2.2.3 ความถี่	7
2.2.4 ขนาดของการสั่นสะเทือน	7
2.2.5 การสั่นสะเทือนจากใบพัด	9

2.2.6 Blade Pass Frequency (BPF)	10
2.2.7 Cavitation	11
2.3 การวิเคราะห์แบบสเปคตรัม	11
2.3.1 การแปลงฟูเรียร์อย่างเร็ว	11
2.3.2 การจำแนกความถี่การสั่นสะเทือน	13
2.3.3 คลื่นเวลาและคลื่นความถี่สเปคตรัม	13
2.4 มาตรฐาน ISO 10816	15

บทที่ 3 ขั้นตอนการทดลอง

3.1 ตำแหน่งที่ติดตั้งเครื่องมือวัดความสั่นสะเทือน	16
3.2 ตำแหน่งของเครื่องจักรที่ทำการวัดค่าสั่นสะเทือน	18
3.3 ขั้นตอนการวัดค่าการสั่นสะเทือนเพื่อเปรียบเทียบกับทฤษฎี	19
3.4 ขั้นตอนการตรวจสอบค่าการสั่นสะเทือนกับปั๊มน้ำจริง	21

บทที่ 4 วิเคราะห์ผลการทดลอง

4.1 การวิเคราะห์สเปคตรัมของ ชุดทดลองปั๊มน้ำ	27
4.2 การวิเคราะห์สเปคตรัมของ -	-
ชุดมอเตอร์ชับปั๊มน้ำเย็นของระบบปรับอากาศแบบ Chiller	27
4.3 การวิเคราะห์สเปคตรัมของ ชุดปั๊มน้ำสุขาภิบาล	29
4.4 การตรวจสอบมาตรฐานการสั่นสะเทือน ISO 10816	30
4.4.1 ชุดมอเตอร์ชับปั๊มน้ำเย็นของระบบปรับอากาศแบบ Chiller ชุดที่ 1	31
4.4.2 ชุดมอเตอร์ชับปั๊มน้ำเย็นของระบบปรับอากาศแบบ Chiller ชุดที่ 3	31
4.4.3 ชุดปั๊มน้ำสุขาภิบาล ชุดที่ 1	32

บทที่ 5 สรุปผลการทดลองและข้อเสนอแนะ

5.1 สรุปผลการทดลอง	35
5.1.1 การตรวจสอบชุดปฏิบัติการปั๊มซึ่งนำมาเปรียบเทียบกับทฤษฎี - harmonic ของใบพัดปั๊มน้ำ	35
5.1.2 เพื่อศึกษาการใช้เครื่อง detector III - และโปรแกรมวิเคราะห์ความสั่นสะเทือน Trendline	35
ก. ชุดมอเตอร์ชับปั๊มน้ำเย็นของระบบปรับอากาศแบบ - Chiller ชุดที่ 1	35
ข. ชุดมอเตอร์ชับปั๊มน้ำเย็นของระบบปรับอากาศแบบ - Chiller ชุดที่ 2	35
ค. ชุดมอเตอร์ชับปั๊มน้ำเย็นของระบบปรับอากาศแบบ - Chiller ชุดที่ 3	35

ง. ชุดมอเตอร์ขับปั๊มน้ำเย็นของระบบปรับอากาศแบบ-	
Chiller ชุดที่ 4	35
จ. ชุดปั๊มน้ำสุขาภิบาลชุดที่ 1	35
ฉ. ชุดปั๊มน้ำสุขาภิบาลชุดที่ 2	35
5.2 ข้อเสนอแนะ	36
5.2.1 ชุดมอเตอร์ขับปั๊มน้ำเย็นของระบบปรับอากาศแบบ-	
Chiller 1 และ 3	36
5.2.2 ชุดปั๊มน้ำสุขาภิบาล	36
เอกสารอ้างอิง	37
ภาคผนวก ก	39
ประวัติผู้จัดทำโครงการ	51



สารบัญตาราง

ตารางที่	หน้า
1.1 ระยะเวลาและแผนการดำเนินงาน	2
1.2 รายละเอียดงบประมาณตลอดโครงการ	3
4.1 ขนาดของการสั่นสะเทือนแต่ละตำแหน่ง ชุดมอเตอร์ขับปั๊มน้ำเย็นของระบบปรับอากาศแบบ Chiller ชุดที่ 3	32
4.2 ขนาดของการสั่นสะเทือนแต่ละตำแหน่ง ชุดปั๊มน้ำสุขาภิบาลชุดที่ 1	33



สารบัญรูปภาพ

รูปที่	หน้า
2.1 เจอร์นัลเบริ่ง (Journal Bearing)	4
2.2 โรลลิ่งเบริ่ง (Rolling Bearing or Anti-friction Bearing)	5
2.3 แสดง coupling ที่เพลาด้านขับสายพาน	5
2.4 แสดงคุณภาพแรงสั่นสะเทือนแบบ RMS	8
2.5 ความสัมพันธ์ระหว่างการกระจัด ความเร็ว และความเร่ง	9
2.6 การคลื่นที่ผ่านหัวด้วยการสั่นสะเทือนครุน 1 รอบ	9
2.7 ใบพัด 4 ใบหมุน 1 รอบ เกิดคลื่นชายน์ 4 รอบและスペคตรัมเป็น 4x	10
2.8 Complex waveform	11
2.9 แผนภาพการทำงานของเครื่องวิเคราะห์การสั่น สะเทือน เมื่อผ่านกระบวนการ FFT	13
2.10 ตัวอย่างスペคตรัมจากมอเตอร์	14
2.11 ตารางเปรียบเทียบขนาดการสั่นสะเทือนของเครื่องจักร ISO 10816	15
 3.1 ตำแหน่งในการวัดความสั่นสะเทือน	 16
3.2 ตำแหน่งของเครื่องจักรที่ทำการวัดค่าสั่นสะเทือน	18
3.3 ตั้งความเร็วรอบของปั๊มน้ำ 2 ที่ 1200 rpm	19
3.4 เริ่มทำการวัดค่าการสั่นสะเทือน	19
3.5 ใบพัดของปั๊มน้ำ	20
3.6 ฐานวางปั๊มน้ำ 2 ชุด	20
3.7 วัดที่ตำแหน่ง NDE-V ปั๊ม Chiller ที่ส่วน Motor	21
3.8 วัดที่ตำแหน่ง NDE-H ปั๊ม Chiller ที่ส่วน Motor	21
3.9 วัดที่ตำแหน่ง DE-V ปั๊ม Chiller ที่ส่วน Motor	22
3.10 วัดที่ตำแหน่ง DE-H ปั๊ม Chiller ที่ส่วน Motor	22
3.11 วัดปั๊มที่จุด DE-H ปั๊ม Chiller ที่ส่วน Pump	23
3.12 วัดปั๊มที่จุด DE-V ปั๊ม Chiller ที่ส่วน Pump	23
3.13 วัดที่ตำแหน่ง NDE-H ส่วน Motor ของปั๊มน้ำ	24
3.14 วัดที่ตำแหน่ง NDE-V ส่วน Motor ของปั๊มน้ำ	24
3.15 วัดที่ตำแหน่ง DE-H ส่วน Motor ของปั๊มน้ำ	25
3.16 วัดที่ตำแหน่ง DE-V ส่วน Motor ของปั๊มน้ำ	25
3.17 วัดที่ตำแหน่ง Belt-H Coupling ปั๊มน้ำ	26
3.18 วัดที่ตำแหน่ง Belt-V Coupling ปั๊มน้ำ	26
3.19 วัดที่ตำแหน่ง DE-H Coupling ปั๊มน้ำ	27
3.20 วัดที่ตำแหน่ง DE-V Coupling ปั๊มน้ำ	27

4.1 สเปคตรัมของ ชุดทดลองปืนน้ำ	27
4.2 ใบพัดของชุดทดลองปืนน้ำ	28
4.3 สเปคตรัมของ ชุดมอเตอร์ขับปืนน้ำเย็นของระบบปรับอากาศแบบ Chiller	29
4.4 สเปคตรัมของ ชุดปืนน้ำสุขาภิบาล	30
 6.1 สเปคตรัมของ ชุดมอเตอร์ขับปืนน้ำเย็นของระบบปรับอากาศแบบ Chiller	40
6.2 สเปคตรัมของ ชุดมอเตอร์ขับปืนน้ำเย็นของระบบปรับอากาศแบบ Chiller	40
6.3 สเปคตรัมของ ชุดมอเตอร์ขับปืนน้ำเย็นของระบบปรับอากาศแบบ Chiller	41
6.4 สเปคตรัมของ ชุดมอเตอร์ขับปืนน้ำเย็นของระบบปรับอากาศแบบ Chiller	41
6.5 สเปคตรัมของ ชุดมอเตอร์ขับปืนน้ำเย็นของระบบปรับอากาศแบบ Chiller	42
6.6 สเปคตรัมของ ชุดมอเตอร์ขับปืนน้ำเย็นของระบบปรับอากาศแบบ Chiller	42
6.7 สเปคตรัมของ ชุดมอเตอร์ขับปืนน้ำเย็นของระบบปรับอากาศแบบ Chiller	43
6.8 สเปคตรัมของ ชุดมอเตอร์ขับปืนน้ำเย็นของระบบปรับอากาศแบบ Chiller	43
6.9 สเปคตรัมของ ชุดมอเตอร์ขับปืนน้ำเย็นของระบบปรับอากาศแบบ Chiller	44
6.10 สเปคตรัมของ ชุดมอเตอร์ขับปืนน้ำเย็นของระบบปรับอากาศแบบ Chiller	44
6.11 สเปคตรัมชุดปืนน้ำสุขาภิบาล	45
6.12 สเปคตรัมชุดปืนน้ำสุขาภิบาล	45
6.13 สเปคตรัมชุดปืนน้ำสุขาภิบาล	46
6.14 สเปคตรัมชุดปืนน้ำสุขาภิบาล	46
6.15 สเปคตรัมชุดปืนน้ำสุขาภิบาล	47
6.16 สเปคตรัมชุดปืนน้ำสุขาภิบาล	47
6.17 สเปคตรัมชุดปืนน้ำสุขาภิบาล	48
6.18 สเปคตรัมชุดปืนน้ำสุขาภิบาล	48
6.19 สเปคตรัมชุดปืนน้ำสุขาภิบาล	49
6.20 สเปคตรัมชุดปืนน้ำสุขาภิบาล	49
6.21 เครื่องมือวัดความสันสะเทือน Detector III	50
6.22ชุดทดลองปืนภาควิชาชีวกรรมเครื่องกล (เลขครุภัณฑ์ 4320-006-015 งpm.2540)	50

สารบัญสัญลักษณ์และอักษรย่อ

ω_n	คือ ความถี่ธรรมชาติ, rad / sec
k	คือ ค่าต้านทานการยืดหยุ่นของวัสดุ N / m
m	คือ มวล, kg
r	คือ อัตราส่วนระหว่างความถี่ของแรงกระทำต่อความถี่ธรรมชาติของระบบ
f	คือ ความถี่ของแรงกระทำ
ω_n	คือ ความถี่ธรรมชาติ
D	คือ การกรองจัด หรือ การเคลื่อนที่, $\mu m-Pk$
V	คือ ความเร็ว, $mm/sec -pk$
A	คือ ความเร่ง mm/sec^2-pk
f	คือ ความถี่, $cycle per sec$
π	คือ ค่าคงที่มีค่าเท่ากับ $22/7$
n	คือ จำนวนข้อมูลทั้งหมด
X	คือ ช่วงกว้างของการสั่น (Displacement Amplitude)
C	คือ ค่าคงที่ใดๆ (Constant)
ω	คือ ความถี่เชิงมุม (Circular Frequency)
t	คือ เวลา เป็นวินาที (Second)
ϕ	คือ มุมเฟส หรือ Phase Angle
$No. Blades$	คือ จำนวนใบพัดของเครื่องสูบที่มี
rpm	คือ ความเร็วรอบของเครื่องสูบ, $revolution/min$

บทที่ 1

บทนำ

1.1 ความเป็นมาและความสำคัญของโครงการ

มอเตอร์เป็นอุปกรณ์ที่สำคัญสำหรับเครื่องจักรต่างๆ เนื่องจากทำหน้าที่เป็นตัวตันกำลังโดยแปลงพลังงานไฟฟ้าเป็นพลังงานกลเพื่อขับเคลื่อนต่างๆ ความเสื่อมสภาพจากการใช้งานหรือความผิดปกติต่างๆ ที่เกิดขึ้นเนื่องจากโรเตอร์และสเตเตอร์ต้องรับแรงที่เกิดจากสนามแม่เหล็กอยู่ตลอดเวลา ความเสียหายที่เกิดขึ้นทางกลจากความร้อนและทางไฟฟ้าจะกระแทกโดยตรงกับประสิทธิภาพในการทำงานและอายุการใช้งานของมอเตอร์ ในปัจจุบันได้มีการนำเทคโนโลยีการวัดและวิเคราะห์การสั่นสะเทือนของเครื่องจักร มาใช้ในการตรวจสภาพและวิเคราะห์ความเสียหายของมอเตอร์ โดยจะทำการวัดในขณะที่มอเตอร์กำลังทำงาน จึงทำให้รู้สถานะของมอเตอร์ว่ามีสภาพเป็นอย่างไร ทำให้รู้สาเหตุที่ทำให้เกิดการเสียหาย และจะทำให้สามารถแก้ไขความผิดปกติที่จะเกิดขึ้นได้ซึ่งจะเป็นการช่วยให้มอเตอร์มีอายุการใช้งานที่ยาวนานมากขึ้น

1.2 วัตถุประสงค์ของโครงการ

- 1.2.1 เพื่อศึกษาทฤษฎีการวิเคราะห์ความสั่นสะเทือนในเครื่องสูบน้ำแบบใบพัด และจำนวนใบพัดที่ปั๊มน้ำมี
- 1.2.2 เพื่อศึกษาการใช้เครื่องมือวัดความสั่นสะเทือน detector III ผ่านโปรแกรมวิเคราะห์ความสั่นสะเทือน Trendline

1.3 ประโยชน์ที่คาดว่าจะได้รับ

- 1.3.1 ยืดอายุการใช้งานของมอเตอร์และปั๊มน้ำ

1.4 ขอบเขตการทำโครงการ

- 1.4.1 วัดความสั่นสะเทือนของชุดทดลอง เครื่องสูบน้ำแบบใบพัด
- 1.4.2 วัดและวิเคราะห์ความสั่นสะเทือนของปั๊มน้ำเย็นและปั๊มน้ำสุขาภิบาล กลุ่มอาคารคณะวิศวกรรมศาสตร์เครื่องกลและอุตสาหการ

1.5 ขั้นตอนการดำเนินงาน

- 1.5.1 ตั้งค่าอุปกรณ์ตรวจวัด
 - 1.5.2 ติดตั้งเครื่องมือวัด วัดผล และบันทึกผลการสั่นสะเทือน
 - 1.5.3 นำค่าที่วัดได้มาราทำกรวิเคราะห์และสรุปผล

1.6 ระยะเวลาและแผนการดำเนินงาน

ตารางที่ 1.1 ระยะเวลาและแผนการดำเนินงาน

1.7 รายละเอียดงบประมาณตลอดโครงการ

ตารางที่ 1.2 รายละเอียดงบประมาณตลอดโครงการ

ลำดับ	รายการ	บาท
1	กระดาษและเครื่องเขียน	1000
2	จัดทำรูปเล่มรายงาน	1500
3	HDD สำหรับเก็บสำรองข้อมูล (2 ชิ้น)	500
รวม		3000



บทที่ 2

หลักการและทฤษฎี

2.1 มอเตอร์ไฟฟ้า

มอเตอร์ คือ เครื่องกลไฟฟ้าที่ทำหน้าที่เปลี่ยนพลังงานไฟฟ้าเป็นพลังงานกล โดยโครงสร้างมอเตอร์จะเหมือนกับเครื่องกำเนิดไฟฟ้ากระแสตรงทุกอย่าง จะมีข้อแตกต่างออกใบบังก์เพียงเล็กน้อยเท่านั้น ทั้งนี้เพราะว่าสภาพที่นำมาใช้งานแตกต่างกัน ด้วยอย่างเช่น เครื่องกำเนิดไฟฟ้าทั่วไปจะเป็นชนิดเปิด (open type) กล่าวคือชุดลวดอาร์เมเจอร์ และชุดลวดสนามแม่เหล็กจะพันเป็นแบบเปิดทั้งน้ำก็เพื่อป้องกันไม่ให้เกิดความเสียหายขึ้นกับลวดอย่างไรก็ตามเครื่องกลไฟฟ้ากระแสตรงเครื่องเดียว สามารถใช้ทำเป็นเครื่องกำเนิดไฟฟ้าหรือเป็นมอเตอร์ไฟฟ้าได้ และในส่วนประกอบหลักๆของมอเตอร์ที่ช่วยให้การหมุนตัวของโรเตอร์เป็นไปอย่างราบรื่นและแรงเสียดทานต่ำคือตลับลูกปืน

2.1.1 ตลับลูกปืน

ตลับลูกปืน (Bearing) เป็นอุปกรณ์ที่ใช้รองรับการหมุนของเพลา โดยตลับลูกปืนมีหน้าที่ถ่ายทอดแรงที่เกิดขึ้นจากเพลาลงไปสู่ฐานของเครื่องจักร และลดแรงเสียดทานระหว่างผิวสัมผัส ทำให้ช่วยเพิ่มสมรรถนะของเครื่องจักรกลต่างๆ ลดการสึกหรอ ในปัจจุบันสามารถแบ่งออกได้เป็น 2 ชนิด คือ

ก. เจร์นัลเบริ่ง (Journal Bearing)

เจอร์นัลเบริ่ง (Journal Bearing) เป็นเบริ่งที่ประกอบด้วยส่วนสำคัญ คือ เพลาที่หมุนเรียกว่าเจอร์นัล ส่วนรองรับเพลาเรียกว่า แบริ่ง และน้ำมันหล่อลื่น สำหรับความสามารถในการหมุน หรือความสามารถของรับการเคลื่อนที่ของเจอร์นัลขึ้นกับคุณสมบัติ ความหนืด ความหนาแน่นของน้ำมันหล่อลื่น



รูปที่ 2.1 เจร์นัลเบริ่ง (Journal Bearing)

ข. โรลลิ่งเบริ่ง (Rolling Bearing or Anti-friction Bearing)

โรลลิ่งเบริ่ง (Rolling Bearing or Anti-friction Bearing) เป็นเบริ่งที่ใช้งานเป็นส่วนใหญ่เรียกในท้องตลาดว่า ตลับลูกปืน ซึ่งประกอบด้วยลูกกลิ้ง เรียกอีกชื่อหนึ่งว่า เม็ดลูกปืน ที่ถูกจับยึดด้วยตัวยึดลูกกลิ้ง (Retainer) และติดตั้งไว้ระหว่างวงแหวนภายนอก (Outer Ring) และวงแหวนภายใน (Inner Ring)



รูปที่ 2.2 โรลลิ่งเบริ่ง (Rolling Bearing or Anti-friction Bearing)

2.1.2 การใช้สายพาน

เมื่อมีการใช้สายพานในการขับเคลื่อนจักรอื่นๆ จะมีการตั้งเครื่องจักรให้ขนาดกันและมีเพลาอื่นออกมาให้ปลายเพลาหันส่องอยู่ในเส้นตรงเดียวกัน แล้วก็จะมี pulley เป็นบากร่องสายพานไว้เพื่อทำให้สามารถหมุนขับเคลื่อนเครื่องจักรไปได้ และแกนเพลาที่ยื่นออกมา ก็จะเป็นต้องมี coupling ซึ่งภายใน coupling ก็จะมีลูกปืนอยู่ภายในอีก ตัวหนึ่งเพื่อรับน้ำหนักและการหมุน



รูปที่ 2.3 แสดง coupling ที่เพลาร้านขับสายพาน

2.2 การสั่นสะเทือน

การสั่นสะเทือน คือ ปรากฏการณ์ของการเคลื่อนที่ไปกลับไปกลับมาของวัตถุภายในได้แรงกระทำ ซึ่งโดยทั่วไปนั้น การสั่นสะเทือนเป็นสิ่งที่ไม่ต้องการให้เกิดขึ้นกับเครื่องจักร แต่มักหลีกเลี่ยงไม่ได้ อย่างดีที่สุดก็คือการพยายามจำกัดขนาดของการสั่นให้อยู่ในขอบเขตที่ยอมรับได้ โดยในการศึกษาการวิเคราะห์การสั่นสะเทือนของเครื่องจักรนั้น พื้นฐานที่ ต้องทำความเข้าใจ คือ โดเมนเวลา (wave form) โดเมนความถี่ (spectrum) การแปลงฟูเรียร์อย่างเร็ว (Fast Fourier Transform), ขนาดของการสั่นสะเทือน (amplitude), ความถี่ (frequency), หน่วยวัดขนาดของการสั่นสะเทือน

2.2.1 ความถี่ธรรมชาติ

ความถี่ธรรมชาติ (Natural Frequency) คือความถี่ประจำตัวของระบบโครงสร้างหรือเครื่องจักรเมื่อมีแรงกระทำอิสระ ทำให้ระบบหรือเครื่องจักรนั้นเกิดการสั่นสะเทือนเกิดความถี่อิสระ หรือเรียกว่า ความถี่ธรรมชาติ ความถี่การสั่นจะมากหรือน้อยขึ้นอยู่กับ รูปร่าง ขนาด และโครงสร้างของเครื่องจักรนั้นๆ การเปลี่ยนแปลงความถี่ธรรมชาติของระบบ หรือเครื่องจักรใดๆ ขึ้นอยู่กับความแทรกต่างของมวล (Mass) และความแข็งแกร่ง หรือความต้านทานการยืดหยุ่น (Stiffness) ของเครื่องจักร

การหาความถี่ธรรมชาติของวัสดุใดๆ สามารถคำนวณได้จากสมการที่ 1

$$\omega_n = \sqrt{\frac{k}{m}} \quad (1)$$

เมื่อ

ω_n คือ ความถี่ธรรมชาติ, rad/sec

k คือ ค่าต้านทานการยืดหยุ่นของวัสดุ, N/m

m คือ มวล, kg

2.2.2 เรโซแนนซ์

เรโซแนนซ์ (Resonance) คือปรากฏการณ์ที่เกิดขึ้น เมื่อความถี่ของแรงกระทำ หรือแรงกระตุ้นระบบมีความถี่เดียวกันกับความถี่ธรรมชาติของระบบนั้น ขนาดของการสั่นสะเทือน จะดันเรียกว่า “ขนาดเรโซแนนซ์” ซึ่งจะทำให้เกิดการขยายตัวการสั่นสะเทือนเพิ่มขึ้นอย่างรุนแรง ทำให้เกิดผลเสียต่อระบบได้ ถ้ากำหนดให้ t เป็นอัตราส่วนระหว่าง ความถี่ของแรงกระทำต่อความถี่ธรรมชาติของระบบ จากสมการที่ 2

$$r = \frac{f}{\omega_n} \quad (2)$$

เมื่อ

- r คือ อัตราส่วนระหว่างความถี่ของแรงกระทำต่อความถี่ธรรมชาติของระบบ
 f คือ ความถี่ของแรงกระทำ
 ω_n คือ ความถี่ธรรมชาติ

2.2.3 ความถี่

ความถี่ในที่นี้หมายถึง จำนวนรอบของการสั่นสะเทือน ต่อหน่วยเวลา ซึ่งสามารถอธิบายอยู่ในรูปของ รอบต่อวินาที (cycle per second, Hz), รอบต่อนาที (cycle per minute, CPM) แต่ถ้าต้องการอธิบายถึงความเร็วของเครื่องจักรจะใช้ รอบ ต่อ นาที (revolution per minute, RPM) ซึ่งในการศึกษางานด้านการวิเคราะห์การสั่นสะเทือน พารามิเตอร์ที่มีความสำคัญ อีกตัวหนึ่งคือ ลำดับชั้น (order) เป็นพารามิเตอร์ที่แสดงว่าเมื่อเครื่องจักรเกิดการสั่นสะเทือนแล้ว แรงกระทำที่เกิดขึ้นมีอิทธิพลกับความเร็วของเครื่องจักร มีค่าเป็นเท่าไหร่

2.2.4 ขนาดของการสั่นสะเทือน (Amplitude)

เป็นพารามิเตอร์ที่สำคัญที่ใช้ในการบ่งบอกสภาพของเครื่องจักร โดยในที่นี้จะกล่าวถึง พารามิเตอร์หลักที่นิยมใช้ได้แก่

1. การกระจัด (displacement)
2. ความเร็ว (velocity)
3. ความเร่ง (acceleration)

ส่วนใหญ่นั้นในการตรวจสอบแรงสั่นสะเทือนของเครื่องจักรนิยมใช้ พารามิเตอร์ทั้งสามชนิดในการวิเคราะห์ทำความผิดปกติของเครื่องจักรอาทิเช่น การกระจัด (displacement) เป็นพารามิเตอร์ที่ใช้ศึกษาการเคลื่อนที่ของเครื่องจักร ของโครงสร้าง หรือของส่วนที่มีการหมุนของเครื่องจักร สำหรับพารามิเตอร์ความเร็ว (velocity) คือความเร็วในการเคลื่อนที่กลับไปกลับมาของเครื่องจักรเมื่อเกิดการสั่น แสดงถึงความเสียหายของเครื่องจักรที่เกิดการแรงล้า (fatigue) ของเครื่องจักรนั้นเอง ยิ่งเครื่องจักรมีขนาดของความเร็วมากแสดงว่า เครื่องจักรมีโอกาสเกิดความเสียหายจากแรงล้ามากนั่นเอง ความเร่ง (acceleration) คืออัตราการเปลี่ยนแปลงความเร็วของมวลในการเคลื่อนที่กลับไปกลับมา ซึ่งเมื่อพิจารณาจากกฎข้อสองของนิวตัน $\sum F = ma$ พบว่า ค่าความเร่งมีความสัมพันธ์กับแรงที่กระทำกับเครื่องจักร กล่าวคือ เมื่อสนับสนุนให้พารามิเตอร์ความเร่งแสดงว่ากำลังสนับสนุนแรงที่เกิดการกระแทกภายในเครื่องจักร อาทิเช่น แรงกระแทกที่เกิดจากการชนกันของฟันเกียร์ ว่ามีความผิดปกติหรือไม่ เป็นต้น โดยสามารถแบ่งหน่วยระหว่างการกระจัด, ความเร็ว และความเร่งได้ จาism การที่ 3 และ สมการที่ 4 ตามลำดับ

$$V = 2\pi f D \quad (3)$$

$$A = 2\pi V = (2\pi f)^2 D \quad (4)$$

เมื่อ

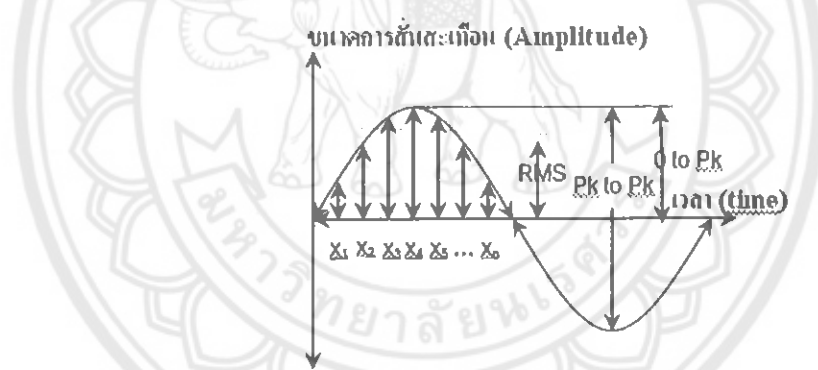
D คือ การกระจัด หรือ การเคลื่อนที่, $\mu\text{m-Pk}$

V คือ ความเร็ว, mm/sec-pk

A คือ ความเร่ง $\text{mm/sec}^2\text{-pk}$

f คือ ความถี่, cycle per sec

π คือ ค่าคงที่มีค่าเท่ากับ $22/7$



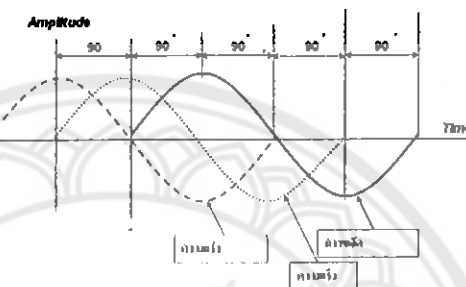
รูปที่ 2.4 แสดงคุณภาพแรงสั่นสะเทือนแบบ RMS

ในด้านคุณภาพของแรงสั่นสะเทือนที่นิยมใช้วัด ได้แก่ Peak value คือ ค่าสูงสุดของขนาดที่เกิดขึ้นในช่วงเวลาหนึ่ง, Root mean square value (RMS) คือ ค่าเฉลี่ยของผลรวมของแรงสั่นสะเทือนที่เกิดขึ้น ดังสมการ

$$RMS = \sqrt{\frac{x_1^2 + x_2^2 + x_3^2 + \dots + x_n^2}{n}} \quad (5)$$

เมื่อ n คือ จำนวนข้อมูลทั้งหมด

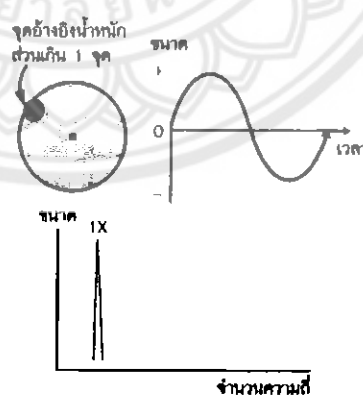
ค่า peak to peak คือค่าสูงสุด ถึงค่าต่ำสุดของขนาดที่เกิดขึ้นในช่วงเวลาหนึ่งๆ ค่าทั้งสามแบบที่กล่าวมาข้างต้น มักจะปรากฏอยู่ทั้งในมาตรฐานของการวัดการสั่นสะเทือนของเครื่องจักร และอุปกรณ์วัดแรงสั่นสะเทือนต่างๆ และยังพบว่าส่วนของความเร็ว และความเร่งจะมีมุ่งเพื่อนำการกระจัดอยู่ 90 องศา และ 180 องศา ตามลำดับ ดังรูปที่ 2.5



รูปที่ 2.5 ความสัมพันธ์ระหว่างการกระจัด ความเร็ว และความเร่ง

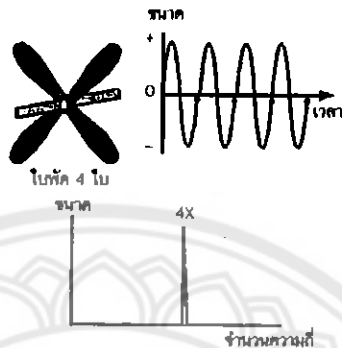
2.2.5 การสั่นสะเทือนจากใบพัด

ถ้าใช้จุดอ้างอิงน้ำหนักส่วนเกินบนขั้นส่วนหมุนที่จุดหนึ่ง ดังรูปที่ 2.6 เมื่อจุดอ้างอิงนั้นมุนผ่านหัววัดการสั่นสะเทือนครบ 1 รอบ เกิดคลื่นการสั่นในรูปของคลื่นไส้ 1 รอบ เมื่อผ่านการคำนวณ จำนวนนับความถี่ FFT หรือ สเปกตรัม จะแสดงความถี่เท่ากับหนึ่งความถี่ หรือเท่ากับ 1 เท่าของความเร็วรอบของขั้นส่วนหมุนเป็น 1X



รูปที่ 2.6 การคลื่นที่ผ่านหัววัดการสั่นสะเทือนครบ 1 รอบ

ถ้าชั้นส่วนหมุน เช่น กังหันมีใบพัด 4 ใบพัดดังรูปที่ 2.7 หมุนผ่านหัววัดการสั่นสะเทือนครบ 1 รอบ มีแรงกระทำการสั่นเป็น 4 ครั้ง จะนับถ้าชั้นงานหมุนครบ 1 รอบ จะเกิดคลื่นไส้เป็น 4 รอบใน 1 รอบ การหมุนเป็น 4X



รูปที่ 2.7 ใบพัด 4 ใบหมุน 1 รอบ เกิดคลื่นขยาย 4 รอบและスペคตรัมเป็น 4x

2.2.6 Blade Pass Frequency (BPF)

BPF เป็นความถี่ที่วัดได้จาก จำนวนใบพัด คุณด้วย ความเร็วรอบ และจะปรากฏในกราฟスペคตรัมความสั่นสะเทือนของเครื่องจักรประเภท เครื่องสูบน้ำแบบใบพัด พัดลม และคอมเพรสเซอร์ ปกติ BPF จะไม่แสดงถึงความเสียหายของเครื่องจักรอย่างไรก็ตาม ถ้าซึ่งว่าระหว่าง rotating vane กับ stationary diffuser ไม่เท่ากันตลอดในเครื่องสูบก็จะทำให้出現ปัญหาของ BPF และอาจมอนิกส์ของมันปรากฏเด่นชัด นอกจานี้หาก BPF ไปสอดคล้องกับความถี่ธรรมชาติของเครื่องสูบก็จะเสริมให้ความสั่นสะเทือนรุนแรงยิ่งขึ้น ค่า BPF สูงยังอาจเป็นผลมาจากการ

- ก. ใบพัดที่สึกหรอหยุดหมุนบนเพลา
- ข. รอยเชื่อมที่ยึด diffuser vane ฉีกขาด
- ค. การหักมุมอย่างทันทีของห่อ หรือมีสิ่งกีดขวางการไหลในห่อ
- ง. การตั้งค่า damper
- จ. ใบพัดมีการเยื่องศูนย์ในตัวเสือเครื่องสูบ

BPF หาได้จากการที่ 6

$$BPF = No. Blades \times rpm \quad (6)$$

เมื่อ $No. Blades$ คือ จำนวนใบพัดของเครื่องสูบที่มี

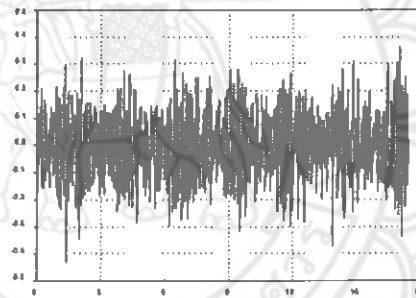
rpm คือ ความเร็วรอบของเครื่องสูบ , $revolution/min$

2.2.7 Cavitation

ปรากฏการณ์ cavitation ทำให้เกิดพลังงานเป็นแบบกว้างย่างความถี่สูงแบบสุ่ม บางครั้งอาจอยู่ทับช่วงความถี่ของ BPF ปรากฏการณ์นี้เกิดจากแรงดูดของเครื่องสูบไม่เพียงพอ หากไม่ได้รับการแก้ไขจะทำให้เกิดความเสียหายรุนแรงภายในเครื่องสูบโดยเฉพาะใบพัด เราสามารถสังเกตได้จากเสียงคล้ายๆ ก้อนกรวดเล็กๆ กระแทกกับใบพัด และไม่ได้เกิดตลอดเวลาที่ความดันด้านดูดไม่เพียงพอนั่นคือ ขณะตรวจวัดอาจตรวจพบหรือไม่ก็ได้

2.3 การวิเคราะห์แบบสเปกตรัม (Spectrum Analysis)

สัญญาณในรูปของคลื่นไอน์ หรือ แบบ-armonics นิสัยอย่างง่าย (Simple harmonic) ซึ่งประกอบไปด้วยแกนของเวลา และแกนของขนาดของการสั่น ซึ่งเรียกว่า โดเมนเวลา หรือ waveform โดยในความเป็นจริงนั้น สัญญาณที่นำมายังการสั่นสะเทือนนั้น เป็นสัญญาณในรูปแบบ complex waveform ดังรูปที่ 2.8 ซึ่งเป็นการยกที่จะแยกปัญหาที่เกิดขึ้นกับเครื่องจักรนั้นๆ ได้



รูปที่ 2.8 Complex waveform

2.3.1 การแปลงฟูเรียร์อย่างเร็ว (Fast Fourier Transform, FFT)

สัญญาณรายคาบไดๆ สามารถแยกออกเป็นสัญญาณรูปหลายชั้น ซึ่งมีความถี่และขนาดต่างๆ กัน เรียกว่า หาร์โนนิค (Harmonic) อันดับของหาร์โนนิคขึ้นอยู่กับความถี่เป็นจำนวนเท่าของความถี่สัญญาณรายคาบนั้น ในทางกลับกันเราอาจสร้างสัญญาณที่มีรูปคลื่นต่างๆ กันได้ โดยใช้สัญญาณชายน์หลายสัญญาณมารวมกัน โดยสังเกตได้ว่าอันดับของหาร์โนนิคยิ่งสูงขึ้น ขนาดของสัญญาณจะยิ่งลดลง

การวิเคราะห์สัญญาณนี้เป็นผลมาจากการศึกษาของนักคณิตศาสตร์ชาวฝรั่งเศส ชื่อฟูริเยร์ (Fourier) ซึ่งได้เสนอหุ่นร์โนนิคในปี 1822 เรียกกันว่า อนุกรมฟูริเยร์ (Fourier series) สามารถเขียนอยู่ในรูปสมการค่าของชายน์ได้ดังสมการที่ 7

$$f(t) = C_0 + C_1 \sin(\omega t + \phi_1) + C_2 \sin(2\omega t + \phi_2) + C_3 \sin(3\omega t + \phi_3) \quad (7)$$

ซึ่งสมการนี้สามารถใช้ได้ในการแก้ปัญหาต่างๆ ทางฟิสิกส์ เช่น การนำความร้อน และการสั่นสะเทือนด้วย โดยสังเกตว่าชายน์ (Sine) มีมุมเพิ่มขึ้นเป็นอนุกรม คือ $1^\circ, 2^\circ, 3^\circ, \dots, n^\circ$ เมื่อ ω คือ ความถี่เชิงมุม (Circular frequency)

Fourier ได้สรุปว่าสัญญาณรายคาบใดๆ ก็ตามในที่นี่ เป็นสัญญาณการสั่นสะเทือนของวัตถุ มีรูปร่างเป็นอย่างไรก็ได้ จะประกอบด้วยสัญญาณคลื่นรูปชายน์เป็นจำนวนมาก โดยมีสัญญาณรูปชายน์อยู่อันหนึ่งที่มีขนาดมากที่สุด มีความถี่เท่าสัญญาณรายคาบนั้น ซึ่งเรียกว่า สัญญาณมูลฐานหรืออาร์โนนิกที่หนึ่ง (Fundamental or First Harmonic) ส่วนสัญญาณอื่นๆ จะมีความถี่เป็นจำนวนเท่าที่เป็นตัวเลขลงตัวของความถี่ต่ำสุดนี้ เรียกว่า อาร์โนนิกที่ n เมื่อ n เป็นตัวเลขแสดงจำนวนเท่าของความถี่สัญญาณรายคาบนั้น

จากสมการค่าชายน์เพอมแกรคือ $C_1 \sin(\omega t + \phi_1)$ ในกรณีของการสั่นสะเทือนจะเรียกว่า อาร์โนนิกมูลฐานของการเคลื่อนที่ (Fundamental or First Harmonic) หรือเรียกว่า อาร์โนนิกที่ 1 ค่าชายน์ในเพอมที่ 2 คือ $C_2 \sin(2\omega t + \phi_2)$ ตัวเลขที่นำหน้าความถี่มูลฐาน ω คือ 2 ดังนั้น ในเพอมนี้ เรียกว่า อาร์โนนิกที่ 2 เป็นต้น

จากสมการฟูเรียร์ ทำให้สามารถทราบถึงการสั่นสะเทือนของวัตถุ ซึ่งเคลื่อนที่เป็นสัญญาณอย่างไรก็ได้ โดยแยกสัญญาณนั้นออกเป็นอนุกรมของชายน์ โดยที่แต่ละเพอมของชายน์นั้นจะเรียกว่า อาร์โนนิก

พิจารณาการเคลื่อนที่แบบอาร์โนนิกอย่างง่าย (Simple harmonic motion) การเคลื่อนที่แบบนี้ก็คือการเคลื่อนที่ซึ่งแทนสมการในเพอมของชายน์เพียงเพ้อมเดียว หรือเพียงอาร์โนนิกเดียว เช่น การเคลื่อนที่ของลูกตุ้ม (Pendulum) ดังสมการที่ 8

$$X = C \sin(\omega t + \phi_C) \quad (8)$$

- เมื่อ X คือ ช่วงกว้างของการสั่น (Displacement Amplitude)
- C คือ ค่าคงที่เดียว (Constant)
- ω คือ ความถี่เชิงมุม (Circular Frequency)
- t คือ เวลา เป็นวินาที (Second)
- ϕ คือ มุมเฟส หรือ Phase Angle

FFT คือเทคนิคการคำนวณทางคณิตศาสตร์แบบดิจิทอลของ Fourier ชาวฝรั่งเศส ซึ่งสามารถหาความสัมพันธ์ระหว่างขนาดการสั่นสะเทือน และจำนวนคลื่นความถี่ของชีวน์ส่วนหมุนหรือเคลื่อนที่แต่ละชีวน์ที่ประกอบรวมกันในเครื่องจักร

2.3.2 การจำแนกความถี่การสั่นสะเทือน

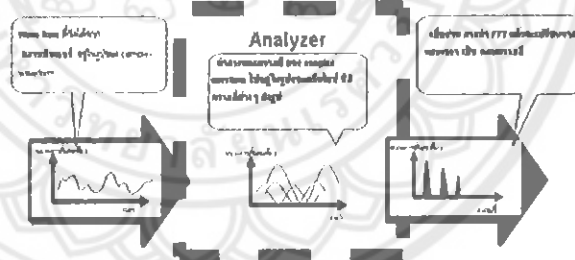
ยกตัวอย่างเกียร์มอเตอร์ของเครื่องจักรชนิดหนึ่ง มีส่วนประกอบของเครื่องจักรที่สำคัญได้แก่ ไกโรเตอร์ของมอเตอร์ขับ เพื่อเกียร์ทดรอบ และตลับลูกปืน

เมื่อเครื่องจักรทำงาน ขึ้นส่วนแต่ละชิ้นจะเกิดการหมุนเคลื่อนที่ เกิดแรงสั่นสะเทือนและจำนวนคลื่นความถี่ที่แตกต่างกัน เมื่อนำสัญญาณผ่านเข้าเครื่องวิเคราะห์สัญญาณทางดิจิตอลตามวิธีการของ FFT จะทำให้เห็นคลื่นความถี่การสั่นสะเทือนในลักษณะต่างๆ เช่น คลื่นเวลาการสั่นในแต่ละเวลา และความถี่สเปกตรัม ทำให้สามารถวิเคราะห์การสั่นสะเทือนผิดปกติของเครื่องจักรได้ว่า มีสาเหตุมาจากชิ้นส่วนใดของเครื่องจักร เช่น การไม่สมดุล ความเสียหายของแบร์งตลับลูกปืน หรือการขบกันของเพื่อเกียร์

เป็นต้น

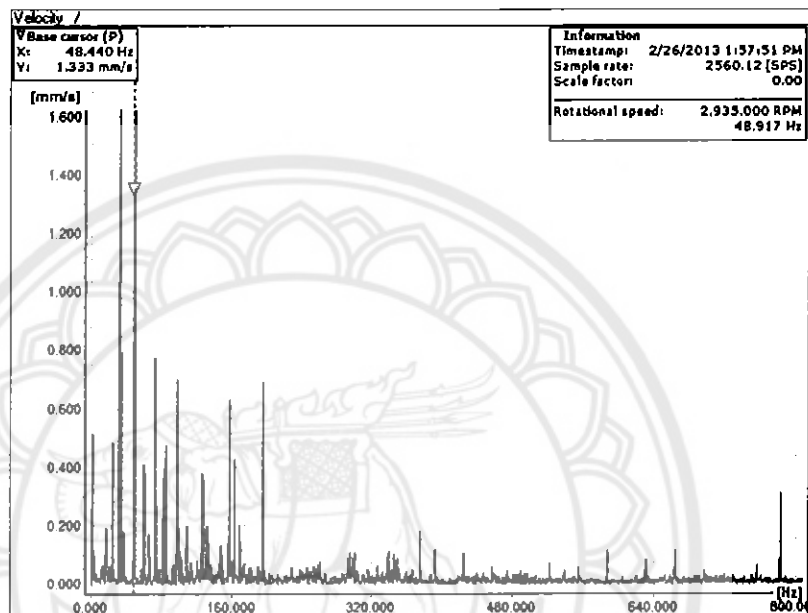
2.3.3 คลื่นเวลา และคลื่นความถี่สเปกตรัม

คลื่นเวลา เป็นการตรวจวัดการสั่นสะเทือนอย่างหนึ่ง โดยการตรวจดูลักษณะการเปลี่ยนแปลงขนาดการสั่นในแต่ละเวลาในเวลาใดเวลาหนึ่ง สเปกตรัม เป็นการแสดงความสัมพันธ์ระหว่างขนาดการสั่นกับจำนวนความถี่แต่ละตำแหน่ง โดยการจำแนกจำนวนนับสัญญาณคลื่นความถี่ที่เกิดจากการสั่นสะเทือนของส่วนประกอบต่างๆ ของเครื่องจักรจากคลื่นไซน์ สเปกตรัม ตามวิธีของ FFT



รูปที่ 2.9 แผนภาพการทำงานของเครื่องวิเคราะห์การสั่น สะเทือน เมื่อผ่านกระบวนการ FFT

โดยในปัจจุบันนี้เครื่องมือที่ใช้ในการวิเคราะห์ค่าการสั่นสะเทือนแบบ FFT จะมีกระบวนการทางคณิตศาสตร์น้อยลงเพื่อช่วยในการ แปลง wave form ไปเป็น spectrum



รูปที่ 2.10 ตัวอย่างสเปกตรัมจากมอเตอร์

2.4 มาตรฐาน ISO 10816

ค่าการสั่นสะเทือนที่ได้จากการวัดจะนำมาเปรียบเทียบกับ ค่ามาตรฐานการสั่นสะเทือนของเครื่องจักร ISO 10816 ซึ่งในมาตรฐานนี้กำหนดให้ทำการวัดมีขนาดไม่เกิน 15 kW จะสามารถเปรียบเทียบได้ตามรูปที่ 2.8

Velocity threshold values

ISO 10816-3

Velocity											
				10-1000 Hz P=6000 rpm							
				2-1000 Hz P=1200 rpm							
rigid	flexible	rigid	flexible	rigid	flexible	rigid	flexible				
pumps > 15 kW radial, axial, mixed flow				medium sized machines 15 kW < M < 300 kW							
Integrated driver		external driver		large machines 300 kW < M < 60 MW							
Group 4		Group 3		motors 160 mm H < 316 mm		motors 316 mm H					

รูปที่ 2.11 ตารางเปรียบเทียบขนาดการสั้นสะเทือนของเครื่องจักร ISO 10816

บทที่ 3

ขั้นตอนการทดลอง

ขั้นแรกทำการตั้งค่าและตำแหน่งในการตรวจสอบความสั่นสะเทือนจากคอมพิวเตอร์ลงในเครื่อง Detector III โดยผ่านโปรแกรม Trendline เพื่อตรวจสอบความสั่นสะเทือนตามตำแหน่งที่ได้ตั้งค่าไว้ ดังนี้

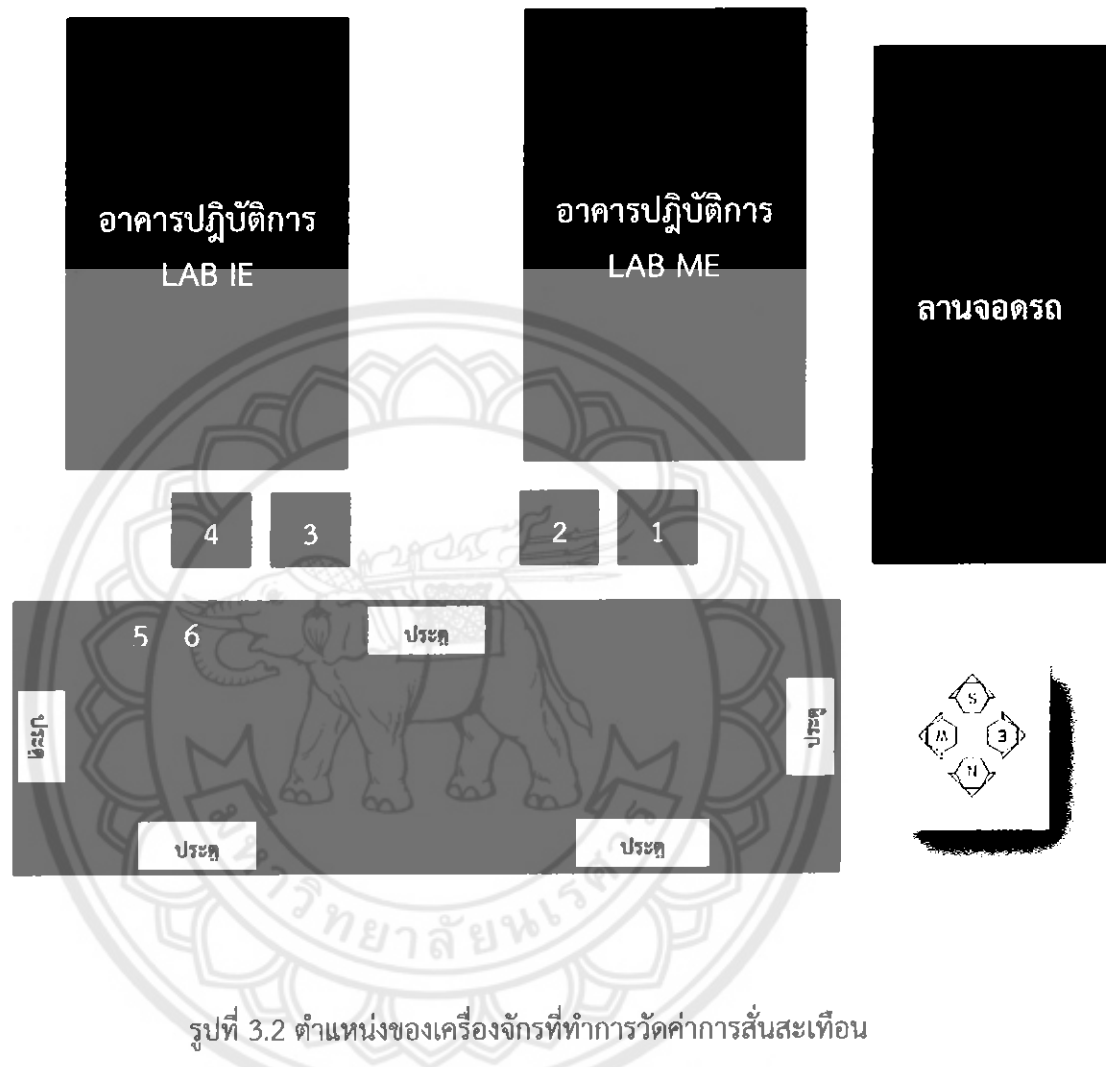
3.1 ตำแหน่งที่ติดตั้งเครื่องมือวัดความสั่นสะเทือน



รูปที่ 3.1 แสดงตำแหน่งการติดตั้งหัววัดความสั่นสะเทือน

- 3.1.1 จุดที่ 1 ด้านตรงข้ามเพลาขับแนวแกนตั้งที่มอเตอร์ (NDE-V)
- 3.1.2 จุดที่ 2 ด้านตรงข้ามเพลาขับแนวแกนนอนที่มอเตอร์ (NDE-H)
- 3.1.3 จุดที่ 3 ด้านเพลาขับแนวแกนตั้งที่มอเตอร์ (DE-V)
- 3.1.4 จุดที่ 4 ด้านเพลาขับแนวแกนนอนที่มอเตอร์ (DE-H)
- 3.1.5 จุดที่ 5 ด้านเพลาขับแนวแกนตั้งที่ปั๊มน้ำ (DE-V)
- 3.1.6 จุดที่ 6 ด้านเพลาขับแนวแกนนอนที่ปั๊มน้ำ (DE-H)

3.2 ตำแหน่งของเครื่องจักรที่ทำการวัดค่าสั่นสะเทือน



รูปที่ 3.2 ตำแหน่งของเครื่องจักรที่ทำการวัดค่าการสั่นสะเทือน

หมายเหตุ



คือ ชุดมอเตอร์ขับปั๊มน้ำเย็นของระบบปรับอากาศแบบ-Chiller



คือ ชุดปั๊มน้ำสุขาภิบาล

3.3 ขั้นตอนการวัดค่าการสั่นสะเทือนเพื่อเปรียบเทียบกับทฤษฎี

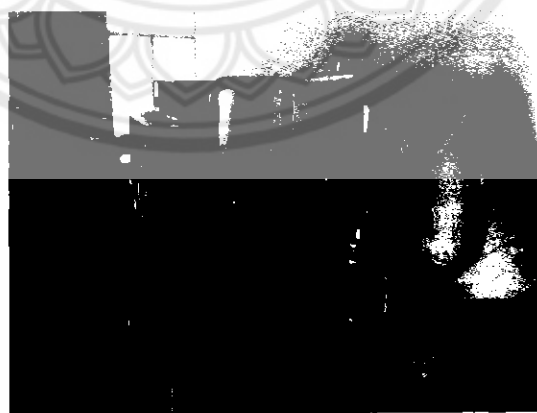
3.3.1 วัดชุดทดลองปั๊มน้ำ ห้องปฏิบัติการภาควิชาวิศวกรรมเครื่องกล

(เลขครุภัณฑ์ 4320-006-015 งpm.2540) น้ำเพื่อนำไปเปรียบเทียบกับทฤษฎีและวัดค่าสั่นสะเทือน

โดยจะทำการวัดปั๊มน้ำ 2 ชุด ที่ความเร็วรอบ 1200 rpm และต้องตั้งความเร็วรอบของเครื่อง Detector III ให้ตรงกับความเร็วรอบของเครื่องจักรที่วัดด้วย

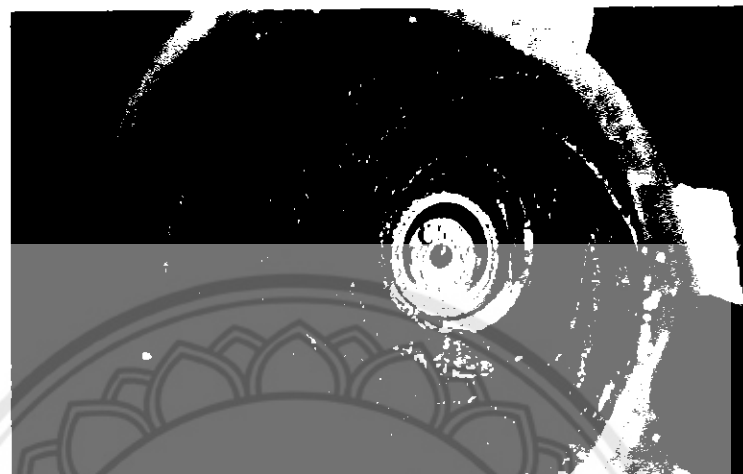


รูปที่ 3.3 ตั้งความเร็วรอบของปั๊มทั้งน้ำ 2 ที่ 1200 rpm



รูปที่ 3.4 เริ่มทำการวัดค่าการสั่นสะเทือน

3.3.2 ถอดปืนน้ำเพื่อนับจำนวนใบพัดมาเปรียบเทียบกับผลการวัดว่าตรงกันหรือไม่



รูปที่ 3.5 ใบพัดของชุดทดลองปืนน้ำ



รูปที่ 3.6 ฐานวางปืนน้ำทั้ง 2 ชุด

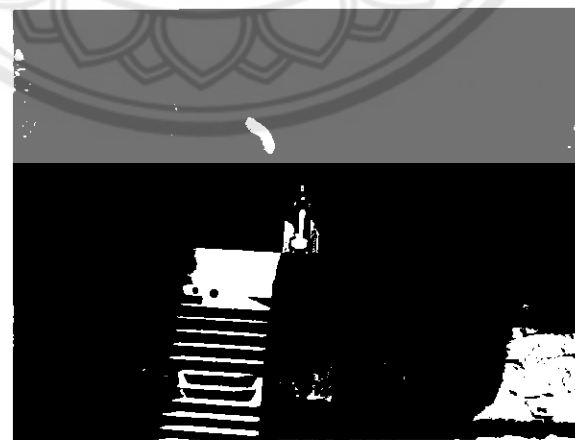
3.4 ขั้นตอนการตรวจสอบค่าการสั่นสะเทือนกับปั๊มน้ำจริง

3.4.1 วัดที่มอเตอร์ขับปั๊มน้ำเย็นของระบบปรับอากาศแบบ Chiller ทำงานที่ความเร็วรอบ 1450 rpm

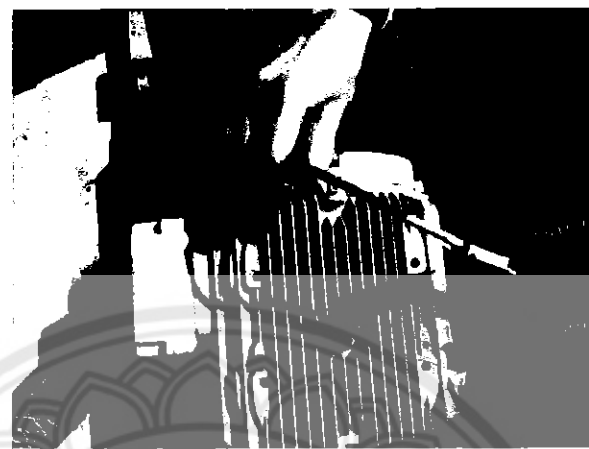
ก. ที่ส่วน Motor จะวัดเป็นจุดๆ โดยจะแบ่งเป็น NDE-H ,NDE-V, DE-H, DE-V



รูปที่ 3.7 วัดที่ตำแหน่ง NDE-V



รูปที่ 3.8 วัดที่ตำแหน่ง NDE-H

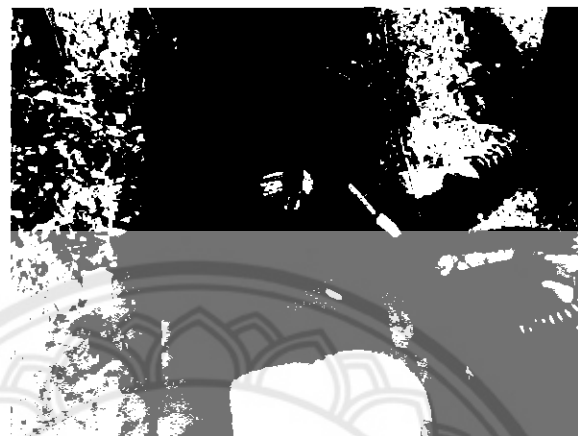


รูปที่ 3.9 วัดที่ต่ำแห่น่ำ DE-V



รูปที่ 3.10 วัดที่ต่ำแห่น่ำ DE-H

3.4.2 ที่ส่วน Pump จะแบ่งวัด 2 จุด คือ DE-H, DE-V

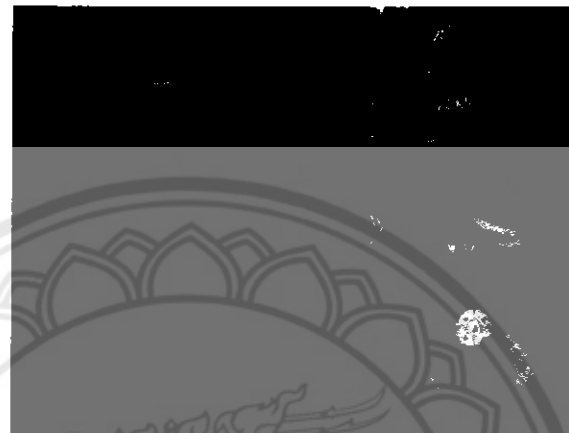


รูปที่ 3.11 วัดปั๊มที่จุด DE-H



รูปที่ 3.12 วัดที่จุด DE-V

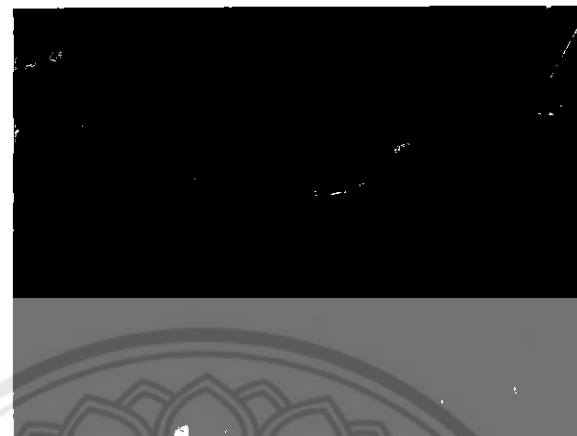
3.4.3 วัดปั๊มน้ำสุขาภิบาลภายในตึก ME ทำงานที่ความเร็วรอบ 2935 rpm
ก. ส่วน Motor จะแบ่งการวัดเป็น 4 จุดคือ NDE-H, NDE-V, DE-H, DE-V



รูปที่ 3.13 วัดที่ตำแหน่ง NDE-H



รูปที่ 3.14 วัดที่ตำแหน่ง NDE-V

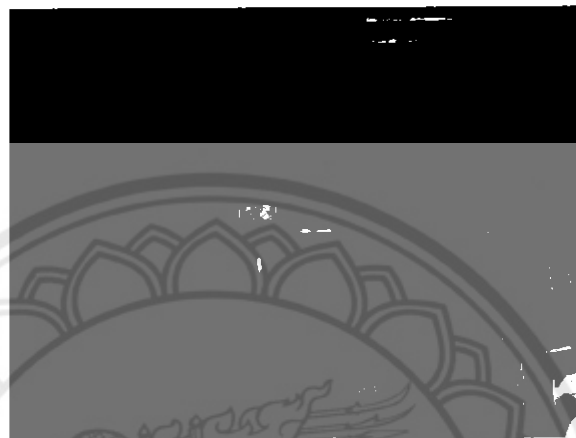


รูปที่ 3.15 วัดที่ตำแห่ง DE-H

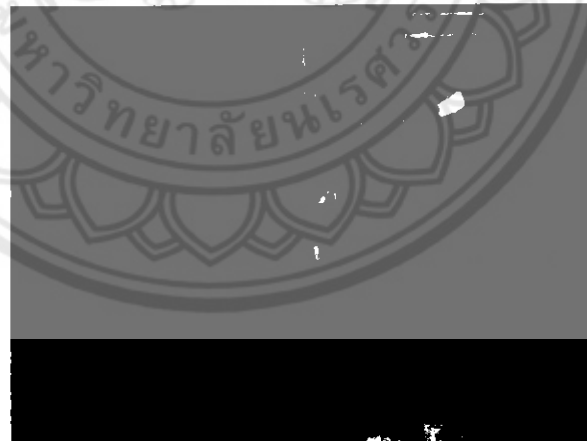


รูปที่ 3.16 วัดที่ตำแห่ง DE-V

ข. ส่วน Coupling ปีม้ำจะแบ่งการวัดเป็น 4จุด กือ Belt-H ,Belt-V, -
DE-H ,DE-V



รูปที่ 3.17 วัดที่ตำแหน่ง Belt-H



รูปที่ 3.18 วัดที่ตำแหน่ง Belt-V



รูปที่ 3.19 วัดที่ทำแผนที่ DE-H



รูปที่ 3.20 วัดที่ทำแผนที่ DE-V

บทที่ 4

วิเคราะห์ผลการทดลอง

จากการวัดค่าความสั่นสะเทือนของ motor และ pump น้ำห้อง 6 ชุด โดยเครื่องวัดความสั่นสะเทือน Detector III ซึ่งจะทำการเปลี่ยน wave form ที่ได้จากการวัด ผ่าน FFT ออกมาเป็นค่าスペกตรัมซึ่งทำให้อ่านค่าและวิเคราะห์ความผิดปกติได้ง่ายขึ้นผ่านโปรแกรม Trendline โดยในโครงงานของเราเน้นไปที่ เรื่องการศึกษาทฤษฎี harmonic ของใบพัดปั๊มน้ำแบบแรงเหวี่ยงหนีศูนย์ (Centrifugal Pump) เพื่อ ตรวจสอบค่าการสั่นสะเทือนตามมาตรฐานของ ISO 10816 และทำการวัดและบันทึกผลการสั่นสะเทือนไว้ มี ชุด motor และ water pump ห้องหมด 6 ชุด คือ

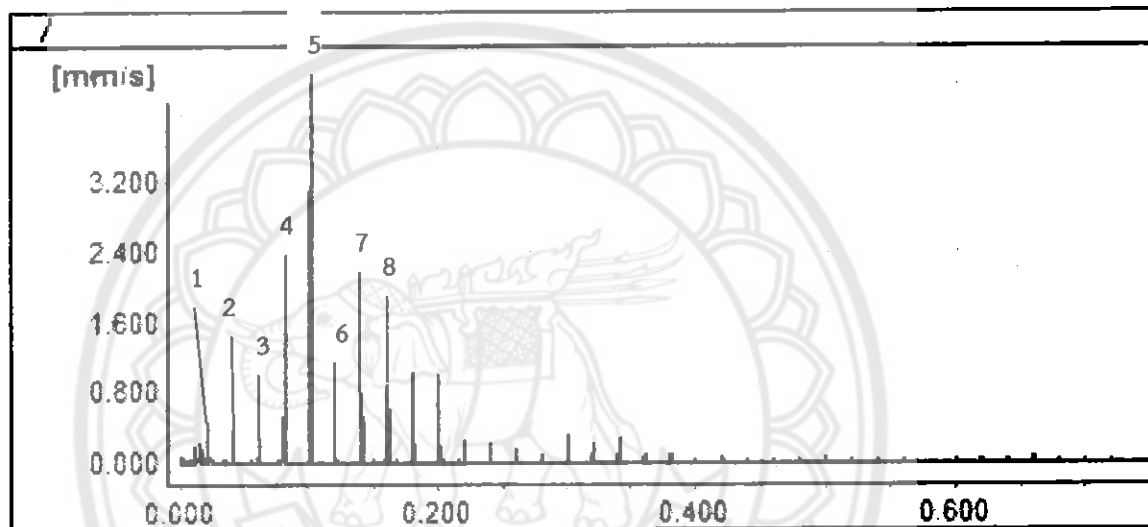
1. ชุดมอเตอร์ขับปั๊มน้ำเย็นของระบบปรับอุณหภูมิแบบ Chiller 4 ชุด
2. ชุดปั๊มน้ำสุขาภิบาล 2 ชุด



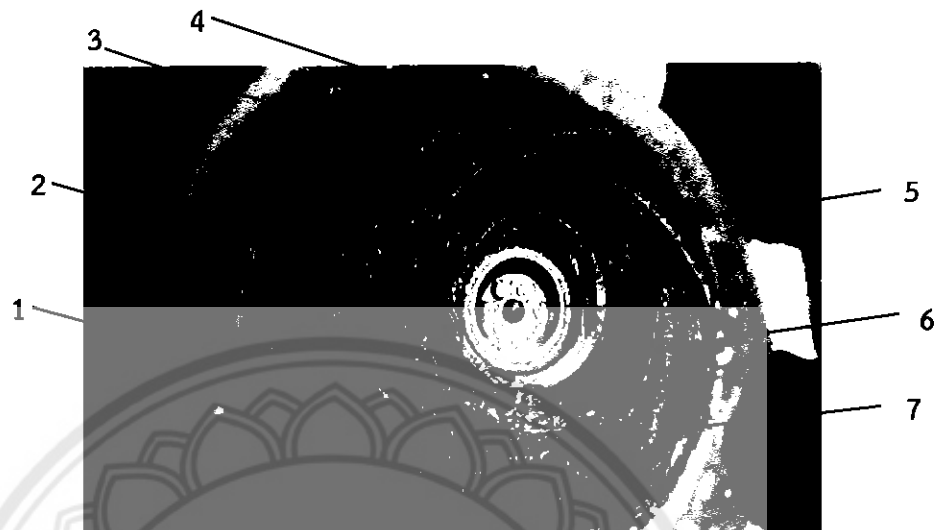
4.1 การวิเคราะห์สเปคตรัมของ ชุดทดลองปืนน้ำ

มอเตอร์ความเร็วรอบ 1200 รอบต่อนาที ซึ่งค่าที่ออกมากจากสเปคตรัมจะเป็นการเทียบระหว่าง ความเร็วของการสั่นสะเทือน mm/s (แกน Y) เทียบกับ ความถี่รอบต่อวินาที Hz (แกน X)

X) ซึ่งจะพบว่าจะเกิดปรากฏการณ์ harmonic ทุกๆ $\frac{rpm}{60} = \frac{1200}{60} = 20Hz$ ดังนั้นจะเกิด harmonic จากใบพัดทุกๆ 20 Hz โดยประมาณ



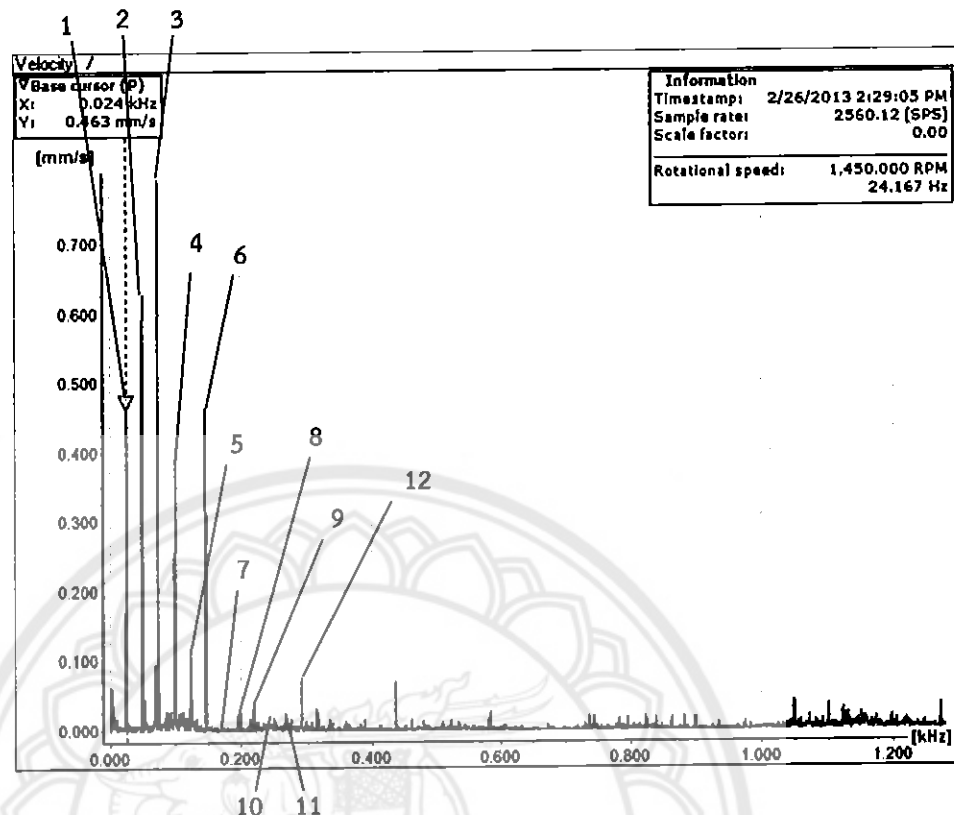
จากรูปที่ 4.1 สเปคตรัมจะเกิด harmonic จากใบพัดทุกๆ 20 Hz จะเห็นได้ว่า harmonic ที่ $6 \times 20 Hz = 120 Hz$ เริ่มหายไป ทำให้เราสามารถประมาณใบพัดจากการเกิด harmonic ของใบพัดได้เมื่อสเปคตรัมเริ่มมีค่าต่ำลงจนแทบจะเป็น 0 mm/s และในช่วงหลัง $8 \times 20 Hz = 160 Hz$ เป็นต้นไปจะเป็นช่วงเริ่ม harmonic ที่ 1 ใหม่ของชุดใบพัดทำให้เราสามารถประมาณใบพัดของปืนน้ำได้ประมาณ 7 ใบพัด



รูปที่ 4.2 ใบพัดของชุดหดลองปั๊มน้ำ

4.2 การวิเคราะห์สเปคตรัมของ ชุดมอเตอร์ขับปั๊มน้ำเย็นของระบบปรับอากาศแบบ Chiller

ใช้มอเตอร์ความเร็วรอบ 1450 รอบต่อนาที ซึ่งค่าที่ออกมากจากสเปคตรัมจะเป็นการเทียบระหว่าง ความเร็วของการสั่นสะเทือน mm/s (แกน Y) เทียบกับ ความถี่รอบต่อวินาที Hz (แกน X) ซึ่งจะพบว่าจะเกิดปรากฏการณ์ harmonic ทุกๆ $\frac{\text{rpm}}{60} = \frac{1470}{60} = 24\text{Hz}$ ดังนั้นจะเกิด harmonic จากใบพัดทุกๆ 24 Hz โดยประมาณ

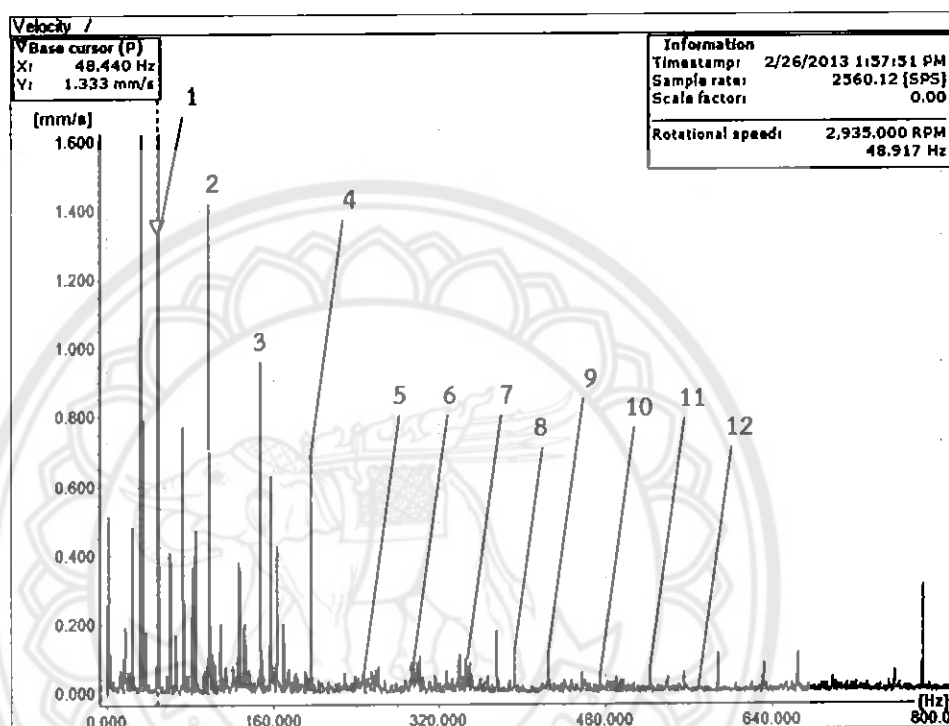


รูปที่ 4.3 สเปคตรัมของ ชุดมอเตอร์ขับปั๊มน้ำเย็นของระบบปรับอากาศแบบ Chiller

หมายเหตุ จากรูปที่ 4.3 ขยาย scale แกน y เพื่อดู harmonic ในพัด พบว่ามีความถี่ harmonic ของใบพัดเกิดขึ้นตลอดช่วงความถี่ทั้งหมด จะพบว่าจะมีสเปคตรัมอื่นๆเข้ามาร่วมด้วยเนื่องจากเป็น ปั๊มที่ใช้งานจริงจัง อาจจะมีการสึกหรอ การหลุมคลอนของอุปกรณ์ยึด และมีการเกิดความไม่แน่นอน จากรูปที่ 4.3 สเปคตรัมจะเกิด harmonic จากใบพัดทุกๆ 24 Hz จะเห็นได้ว่า harmonic ที่ $10 \times 24 \text{ Hz} = 240 \text{ Hz}$ เริ่มหายไป ทำให้เราสามารถประมาณใบพัดจากการเกิด harmonic ของ ใบพัดได้เมื่อสเปคตรัมเริ่มมีค่าต่ำลงจนแทบทะลึ่งเป็น 0 mm/s และในช่วงหลัง $10 \times 24 \text{ Hz} = 240 \text{ Hz}$ เป็นต้นไปจะเป็นช่วงเริ่ม harmonic ที่ 1 ใหม่ของชุดใบพัดทำให้เราสามารถประมาณใบพัดของปั๊มน้ำได้ประมาณ 8 ใบพัด

4.3 การวิเคราะห์สเปกตรัมของ ชุดปั๊มน้ำสุขาภิบาล

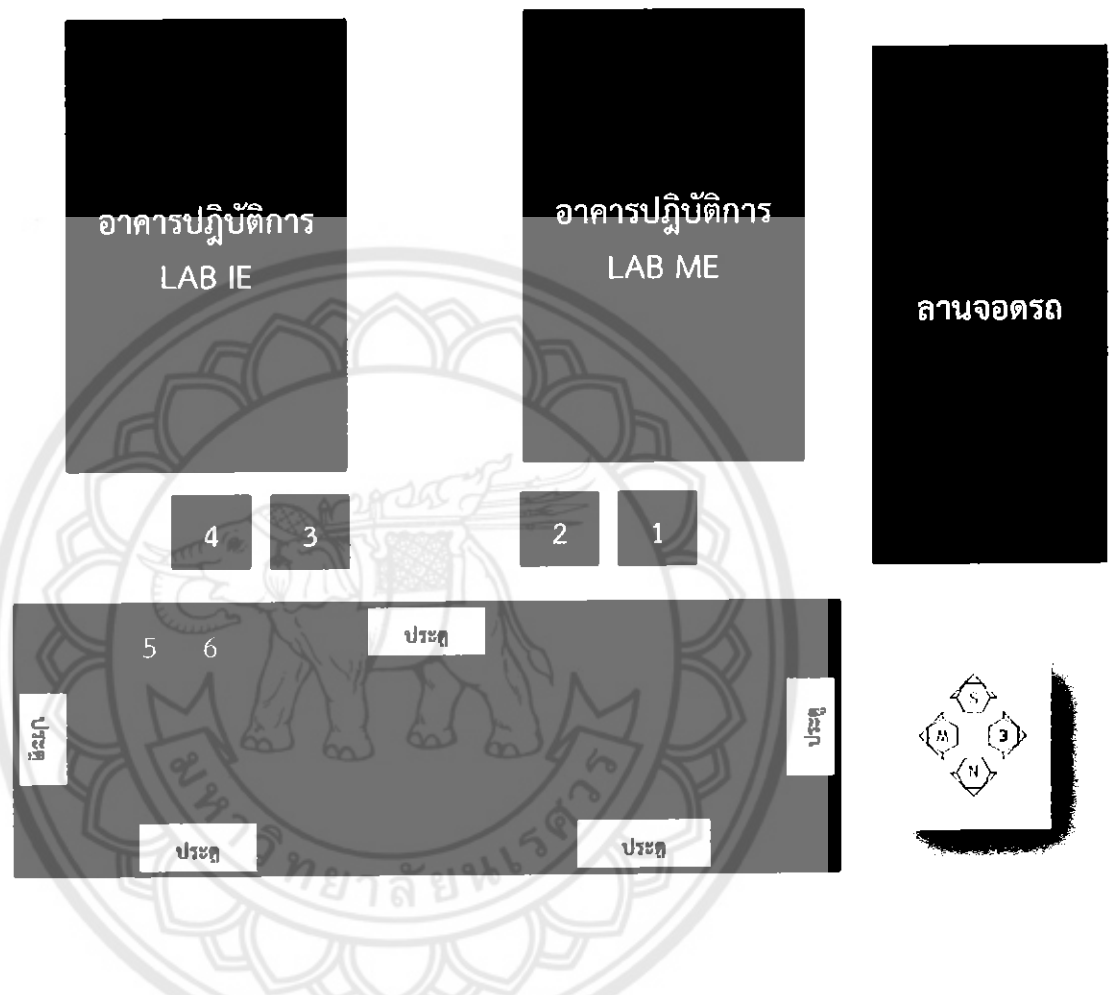
ซึ่งใช้ความเร็วรอบ 2935 รอบต่อนาที จาก $\frac{rpm}{60} = \frac{2935}{60} = 48.917\text{Hz}$ ดังนั้นจะเกิด harmonic จากใบพัดทุกๆ 48.917Hz โดยประมาณ



รูปที่ 4.4 สเปคตรัมของ ชุดปั๊มน้ำสุขาภิบาล

หมายเหตุ จากรูปที่ 4.4 ขยาย scale แกน y เพื่อถู harmonic ใบพัด พบร่วมความถี่ harmonic ของใบพัดเกิดขึ้นตลอดช่วงความถี่ทั้งหมด จะพบว่าจะมีสเปคตรัมอื่นๆเข้ามาร่วมด้วยเนื่องจากเป็นปั๊มที่ใช้งานจริงจัง อาจจะมีการสึกหรอ การหลุมคลอนของอุปกรณ์ยึด และมีการเกิดควิบเขี้นด้วย จากรูป 4.4 จะเห็นได้ว่าจะมี harmonic ของใบพัดทุกๆ 48.917Hz เราสามารถประมาณจำนวนใบพัดของปั๊มได้จาก harmonic ของใบพัด โดยสังเกตว่าช่วง harmonic ที่ $12 \times 48.917\text{Hz} = 587\text{Hz}$ harmonic จะเริ่มหายไปและขึ้นมาใหม่อีกครั้งที่ ช่วง harmonic $13 \times 48.917\text{Hz} = 635.921\text{Hz}$ จากข้อสังเกตนี้ทำให้เราพบว่าเมื่อ harmonic เริ่มหายเป็นสัญญาณบอกว่ามีการ harmonic ครบชุดใบพัดนั้นแล้ว และจะขึ้นมาใหม่เป็นการวนตั้งแต่ harmonic ที่ 1 ของใบพัดต่อไปเรื่อยๆ ดังนั้นเราจะสามารถประมาณใบพัดของปั๊มน้ำนี้ได้ ประมาณ 12 ใบพัด

4.4 การตรวจสอบมาตรฐานการสั่นสะเทือน ISO 10816



รูปที่ 3.2 ตำแหน่งของเครื่องจักรที่ทำการวัดค่าการสั่นสะเทือน

หมายเหตุ คือ ชุดมอเตอร์ขับปั๊มน้ำเย็นของระบบปรับอากาศแบบ Chiller

คือ ชุดปั๊มน้ำสุขาภิบาล

4.4.1 ชุดมอเตอร์ขับปั๊มน้ำเย็นของระบบปรับอากาศแบบ Chiller ชุดที่ 1

มอเตอร์ทำงานที่ความเร็วรอบ 1450 rpm ชุดมอเตอร์ขับปั๊มน้ำเย็นของระบบปรับอากาศแบบ Chiller ชุดที่ 1 มีระดับการสั่นสะเทือนที่ไม่เกินมาตรฐาน ISO 10816 ทุกจุด

4.4.2 ชุดมอเตอร์ขับปั๊มน้ำเย็นของระบบปรับอากาศแบบ Chiller ชุดที่ 3

มอเตอร์ทำงานที่ความเร็วรอบ 1450 rpm ชุดมอเตอร์ขับปั๊มน้ำเย็นของระบบปรับอากาศแบบ Chiller ชุดที่ 3 มีระดับการสั่นสะเทือนที่เกินมาตรฐาน ISO 10816 ทั้งหมด 1 จุดจาก 6 จุด ดังตารางที่ 4.1

ตารางที่ 4.1 ขนาดของการสั่นสะเทือนแต่ละตำแหน่ง ชุดมอเตอร์ขับปั๊มน้ำเย็นของระบบปรับอากาศแบบ Chiller ชุดที่ 3

Plant	Motor&Pump	ตำแหน่ง	แกน	ผลการวัด
Chiller Pump 3	Motor 3	DE	แกนตั้ง	ค่าการสั่นสะเทือน 4.59 mm/s มีขนาดการสั่นสะเทือนมากกว่าค่ามาตรฐานเล็กน้อย แต่ยังอยู่ในค่าที่ยอมรับได้

จากการตรวจวัดการสั่นสะเทือนของชุดมอเตอร์ขับปั๊มน้ำเย็นของระบบปรับอากาศแบบ Chiller ทั้งหมดซึ่งมีอยู่ 4 ชุด ซึ่งจุดประสงค์ที่ติดตั้งไว้ถึง 4 ชุด ซึ่งจะแบ่งโซนทำงานเป็นโซนละ 2 ชุด คือ ชุดที่ 1 และชุดที่ 2 รับภาระครึ่งอาคารโซน ME และชุดที่ 3 และชุดที่ 4 รับภาระอีกครึ่งอาคารโซน IE โดยแต่ละโซนจะมีชุดสำรองโซนละ 1 ชุด และจากการของเปิดใช้งานเครื่องก๊ophil สามารถทำงานได้จริงเพียง 2 ชุดเท่านั้น คือชุดที่ 1 และชุดที่ 3 ซึ่งชุดที่ 2 และชุดที่ 4 เกิดความเสียหายไม่สามารถเดินเครื่องได้ นั่นก็หมายความว่าแต่ละโซนสามารถใช้งานจริงได้เพียง 1 ชุดเท่านั้นถ้าหากเกิดเหตุขัดข้องกับชุดที่สามารถใช้งานได้ ของโซนใดโซนหนึ่ง หรือห้อง 2 โซน ระบบทำความเย็นจะหยุดทำงานในโซนนั้นทันที และจากการตรวจวัดความสั่นสะเทือนในชุดที่ 1 พบร่วมกับการสั่นสะเทือนอยู่ในเกณฑ์มาตรฐาน ISO 10816 ยังสามารถทำงานได้เป็นปกติ แต่ชุดที่ 3 พบร 1 จุดที่มีขนาดการสั่นสะเทือนมากกว่าค่ามาตรฐาน ISO 10816 เล็กน้อยแต่ก็ยังอยู่ในเกณฑ์ที่ยอมรับได้ แต่ควรเฝ้าระวังตรวจสอบความผิดปกติเป็นระยะ

4.4.3 ชุดปั๊มน้ำสุขาภิบาลชุดที่ 1

มอเตอร์ทำงานที่ความเร็วรอบ 2935 rpm ชุดปั๊มน้ำสุขาภิบาล มีระดับการสั่นสะเทือนที่เกินมาตรฐาน ISO 10816 ทั้งหมด 7 จุดจาก 8 จุดดังตารางที่ 4.2
ตารางที่ 4.2 ขนาดของการสั่นสะเทือนแต่ละตำแหน่ง ชุดปั๊มน้ำสุขาภิบาลชุดที่ 1

Plant	Motor&Pump	ตำแหน่ง	แกน	ผลการวัด
Water Pump 1	Motor 5	NDE	แกน นอน	มีค่าการสั่นสะเทือน 10.84 mm/s ซึ่งมีค่าสูงกว่ามาตรฐานมาก
Water Pump 1	Motor 5	NDE	แกนตั้ง	มีค่าการสั่นสะเทือน 8.42 mm/s ซึ่งมีค่าสูงกว่ามาตรฐานมาก
Water Pump 1	Motor 5	DE	แกน นอน	มีค่าการสั่นสะเทือน 10.86 mm/s ซึ่งมีค่าสูงกว่ามาตรฐานมาก
Water Pump 1	Motor 5	DE	แกนตั้ง	มีค่าการสั่นสะเทือน 11.28 mm/s ซึ่งมีค่าสูงกว่ามาตรฐานมาก
Water Pump 1	Pump 5	Belt-H	แกน นอน	มีค่าการสั่นสะเทือน 7.01 mm/s ซึ่งมีค่าสูงกว่ามาตรฐานมาก
Water Pump 1	Pump 5	Belt-V	แกนตั้ง	มีค่าการสั่นสะเทือน 10.10 mm/s ซึ่งมีค่าสูงกว่ามาตรฐานมาก
Water Pump 1	Pump 5	DE-V	แกนตั้ง	มีค่าการสั่นสะเทือน 7.01 mm/s ซึ่งมีค่าสูงกว่ามาตรฐานมาก

จากการตรวจการสั่นสะเทือนของชุดปั๊มน้ำสุขาภิบาล ซึ่งมีทั้งหมด 2 ชุด แต่ใช้ได้เพียงชุดเดียวคือ ชุดที่ 1 และเมื่อตรวจวัดค่าความสั่นสะเทือนพบว่าเกือบทุกจุดมีการสั่นสะเทือนสูงกว่า มาตรฐานการสั่นสะเทือน ISO 10816 มาก ชุดแบร์ิงเก็บทั้งหมดมีการสึกหรอ ถ้ายังไม่มีการซ่อมบำรุงโดยเร็ว อาจจะส่งผลกระทบคือ น้ำทั้งอาคารไม้ไอล และชุดอุปกรณ์ภายในมอเตอร์เกิดความเสียหายอย่างถาวร

บทที่ 5

สรุปผลการทดลองและข้อเสนอแนะ

5.1 สรุปผลการทดลอง

5.1.1 การตรวจสอบชุดปฏิบัติการปั๊มซึ่งนำมาเปรียบเทียบกับทฤษฎี harmonic ของใบพัดปั๊มน้ำ

ซึ่งการเปรียบเทียบนี้เราจะนับ harmonic ที่เกิดขึ้น โดย harmonic ของใบพัดจะเกิดขึ้นในจำนวนเท่าของความถี่ที่เท่าๆ กัน ซึ่งผลจากการนับ harmonic ของใบพัดที่บันทึกค่ามาได้ ตรงกับจำนวนใบพัดจริง และดูว่าการนับ harmonic ของใบพัดที่ได้จากการตรวจสอบเป็นไปตามทฤษฎี

5.1.2 เพื่อศึกษาการใช้เครื่อง detector III และโปรแกรมวิเคราะห์ความสั่นสะเทือน Trendline

เราได้ทำการวัดปั๊มที่ใช้งานจริงซึ่งสามารถตรวจสอบความผิดปกติของปั๊มได้โดยเครื่อง Detector III จะเป็นตัววัดค่า และนำมาแปลผลให้เป็นรูปของกราฟโดยใช้โปรแกรม Trendline ซึ่งการตรวจสอบนี้ จะอ้างอิงตาม ISO 10816 ผลที่ได้สามารถบอกได้ว่าปั๊มตัวไหนมีความผิดปกติ จากการตรวจสอบปั๊มทั้ง 6 ชุด ได้ผลดังนี้

ก. ชุดมอเตอร์ขับปั๊มน้ำเย็นของระบบปรับอากาศแบบ Chiller ชุดที่ 1 ไม่ตรวจพบความผิดปกติจากการสั่นสะเทือนที่เกินกว่าค่ามาตรฐาน ISO 10816

ข. ชุดมอเตอร์ขับปั๊มน้ำเย็นของระบบปรับอากาศแบบ Chiller ชุดที่ 2 เสียงหายไม่ได้ทำการตรวจวัดค่าการสั่นสะเทือน

ค. ชุดมอเตอร์ขับปั๊มน้ำเย็นของระบบปรับอากาศแบบ Chiller ชุดที่ 3 ตรวจพบความผิดปกติจากการสั่นสะเทือนที่เกินกว่าค่ามาตรฐาน ISO 10816 ทั้งหมด 1 จุด จาก 6 จุดที่ตรวจวัด แต่ยังไม่รุนแรงมากให้มีการตรวจเช็คเป็นระยะๆ

ง. ชุดมอเตอร์ขับปั๊มน้ำเย็นของระบบปรับอากาศแบบ Chiller ชุดที่ 4 เสียงหายไม่ได้ทำการตรวจวัดค่าการสั่นสะเทือน

จ. ชุดปั๊มน้ำสุขาภิบาลชุดที่ 1 ตรวจพบความผิดปกติจากการสั่นสะเทือนเกินกว่าค่ามาตรฐาน ISO 10816 เป็นอย่างมากทั้งหมด 7 จุด จาก 8 จุดที่ตรวจวัด ชุดเบริ่งและอุปกรณ์ภายในเริ่มเกิดความเสียหายแล้ว ควรส่งที่มีซ่อมบำรุงเข้าไปทำการซ่อมแซมโดยเร็วเพื่อระหักถ้าเกิดความเสียหายจนไม่สามารถเดินเครื่องได้น้ำทั้งอาคารก็จะไม่ไหล

ฉ. ชุดปั๊มน้ำสุขาภิบาลชุดที่ 2 เสียงหายไม่ได้ทำการตรวจวัดค่าการสั่นสะเทือน

5.2 ข้อเสนอแนะ

5.2.1 ชุดมอเตอร์ขับปั๊มน้ำเย็นของระบบปรับอากาศแบบ Chiller 1 และ 3

ควรมีการบำรุงรักษาและทำความสะอาดบริเวณรอบๆ เครื่องจักร เพื่อที่จะได้ลดปัจจัยที่มีโอกาสทำให้เกิดความเสียหายในเครื่องจักร เช่น หูงู และแมลง ต่างๆ อาจจะมาทำลายอุปกรณ์ต่อพ่วงต่างๆ จนก่อให้เกิดความเสียหายตามมาได้

5.2.2 ชุดปั๊มน้ำสุขาภิบาล

มีค่าการสั่นสะเทือนเกินกว่าค่ามาตรฐาน ISO 10816 ซึ่งอาจเกิดได้ หลายปัจจัย เช่น ฐานรองชุดปั๊มน้ำสุขาภิบาลติดตั้งไม่ได้มาตรฐาน หรือมีการการเสื่อมสภาพและการสึกหรอของตัวฐาน การหลุมคลอนของชิ้นส่วนต่างๆ จึงควรมีการตรวจสอบช่องบารุงเป็นการด่วน เพราะอาจจะทำให้ชุดปั๊มน้ำสุขาภิบาลเกิดความเสียหายในชิ้นส่วนอุปกรณ์ภายในที่สำคัญ



เอกสารอ้างอิง

- [1] Glenn D. White; Introduction to Machine Vibration; DLI Engineering Corporation; 1998
- [2] Advanced Spectral Analysis; PdMA Corporation
- [3] Don Taft; Vibration Problems Associated with Two Pole, Alternating Current Motors; Plant Superintendent R.A. Reed Electric Co. Los Angeles, California
- [4] S.V. Bowers, and K.R. Piety; Proactive Motor Monitoring Through Temperature, Shaft Current and Magnetic Flux Measurements; Computational Systems, Incorporated
- [5] A.E. Fitzgerald, Charles Kingsley, Jr., Stephen D. Umans; ELECTRIC MACHINERY Fifth Edition; McGraw-Hill; 1992
- [6] Stewart V. Bowers, Ph.D.; The State of Flux; Computational Systems, Incorporated
- [7] Stewart V. Bowers, Ph.D.; Flux Technology Overview; Computational Systems, Incorporated
- [8] David Kowal; Proactive Maintenance Strategy for Electrically Induced Bearing Damage; Computational Systems, Inc.
- <http://www.vcharkarn.com/vblog/32721/1/30#P2> สืบค้นเมื่อ 1 กันยายน 2555
- [9] ก่อเกียรติ บุญชุกุล, สมศักดิ์ ไชยภัณฑ์ และชัยโรจน์ คุณพนิชกิจ. (2540). การวิเคราะห์การสั่นสะเทือน การเฝ้าตรวจและการจัดการการบำรุงรักษา. ส่วนตำราสนับสนุนเทคนิคอุตสาหกรรม สมาคมส่งเสริมเทคโนโลยี (ไทย – ญี่ปุ่น).
- [10] ทั้ยเทพ วงศ์สุวรรณ. (2550). การตรวจสอบเครื่องจักรกลจากค่าความสั่นสะเทือน วารสาร: Mechanical Technology Magazine ฉบับที่ 6 เล่มที่ 69 หน้า 80-83
- [11] Eshleman L. Ronald (2005). Basic Machinery Vibration. United States of America: Clarendon Hills.
- http://www.tgipmt.com/en/articles/vibration/33/basic_vibration_analysis_for_condition-based_monitoring สืบค้นเมื่อ 1 กันยายน 2555
- [12] เทคนิคการวัดความสั่นสะเทือนและวิเคราะห์การสั่นสะเทือน เพื่องานบำรุงรักษา (วินัย เวช วิทยาลัง)
- [13] http://www.ie.psu.ac.th/student_performance/Bearing/index2.html สืบค้นเมื่อ 28 มีนาคม 2556
- [14] [http://www.sasasia.net/customize-%E0%B8%95%E0%B8%B2%E0%B8%A3%E0%B8%90%E0%B8%B2%E0%B8%99%E0%B8%81](http://www.sasasia.net/customize-%E0%B8%95%E0%B8%B2%E0%B8%A3%E0%B8%B2%E0%B8%87%E0%B8%A1%E0%B8%B2%E0%B8%95%E0%B8%A3%E0%B8%90%E0%B8%B2%E0%B8%99%E0%B8%81)

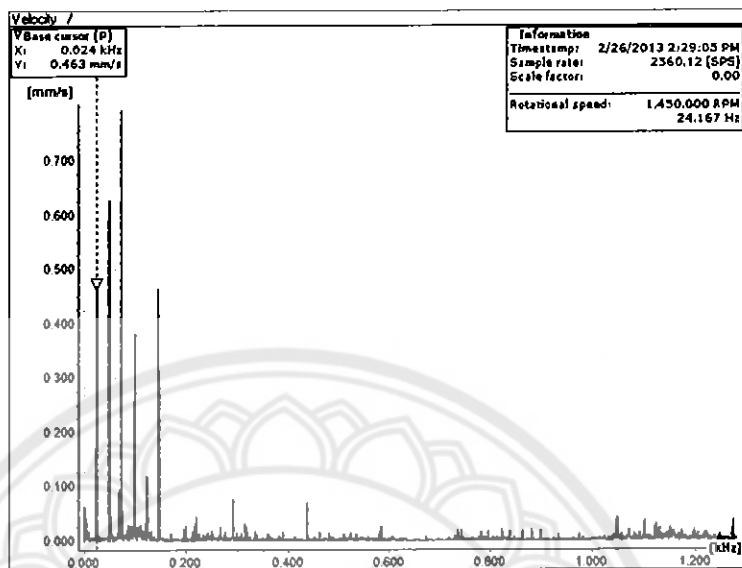
%E0%B8%B2%E0%B8%A3%E0%B8%AA%E0%B8%B1%E0%B9%88%E0%B8%99%E0%
B8%AA%E0%B8%B0%E0%B9%80%E0%B8%97%E0%B8%B7%E0%B8%AD%E0%B8%99
(ISO108163)-12018-1.html สืบคันเมื่อ 28 มีนาคม 2556

[15] TABLE I ILLUSTRATED VIBRATION DIAGNOSTIC CHART Schaeffler (Thailand) Co., Ltd.

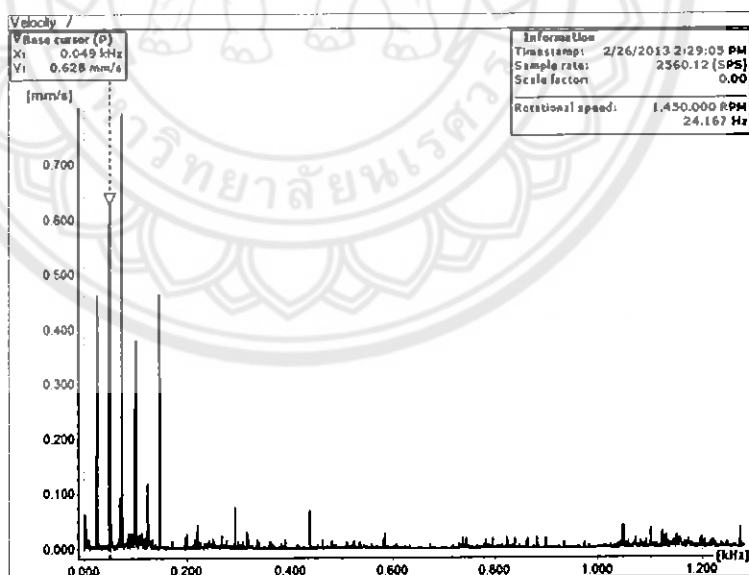


ภาคผนวก ก

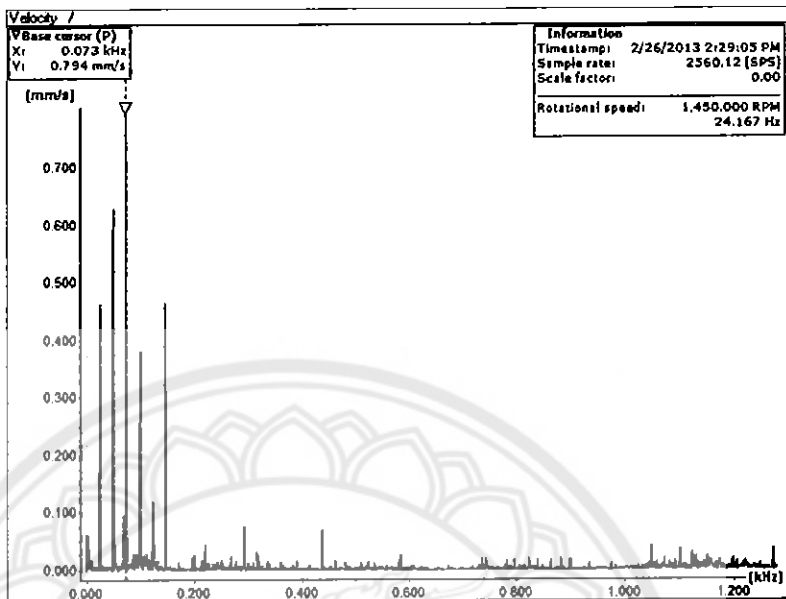




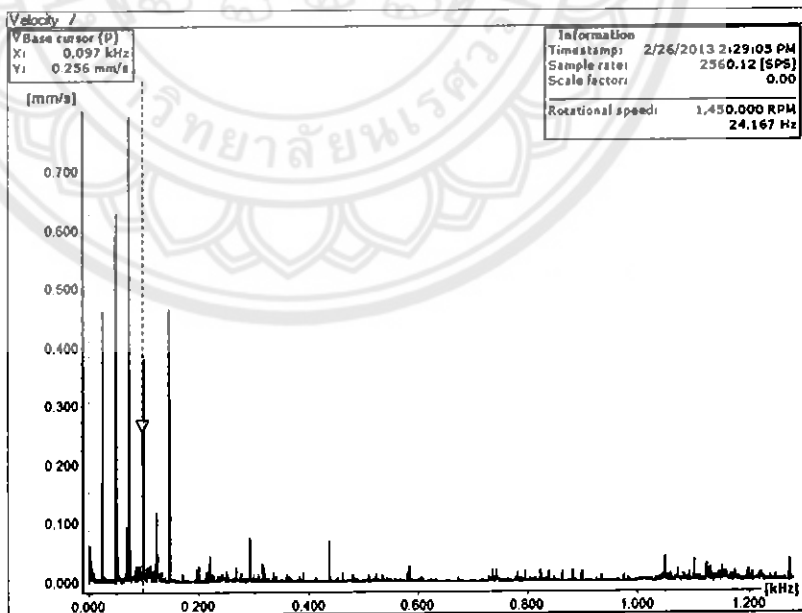
รูปที่ 6.1 สเปกตรัมของ ชุดมอเตอร์ขับปั๊มน้ำเย็นของระบบปรับอากาศแบบ Chiller



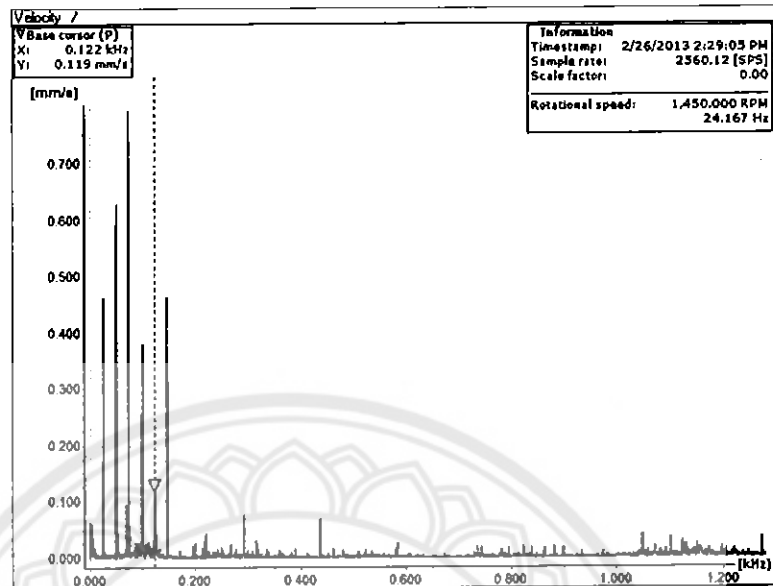
รูปที่ 6.2 สเปกตรัมของ ชุดมอเตอร์ขับปั๊มน้ำเย็นของระบบปรับอากาศแบบ Chiller



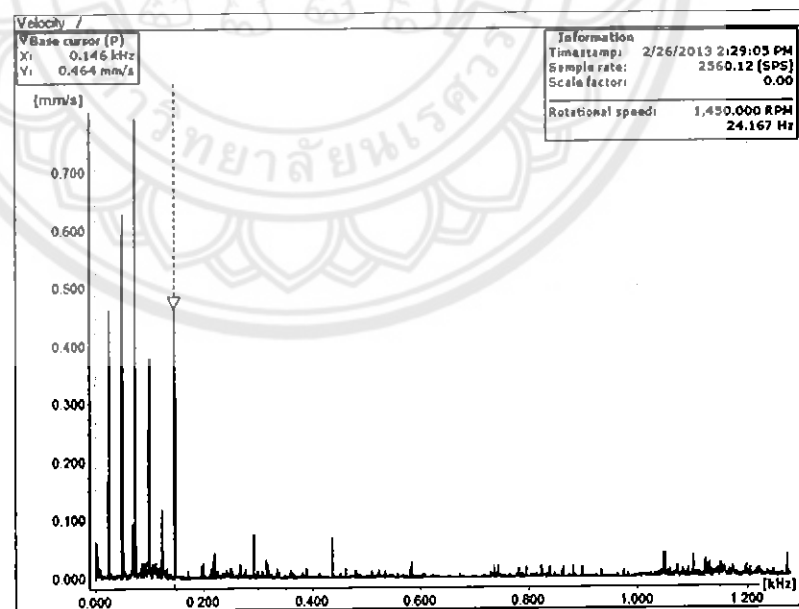
รูปที่ 6.3 สเปกตรัมของ ชุดมอเตอร์ขับปั๊มน้ำเย็นของระบบปรับอากาศแบบ Chiller



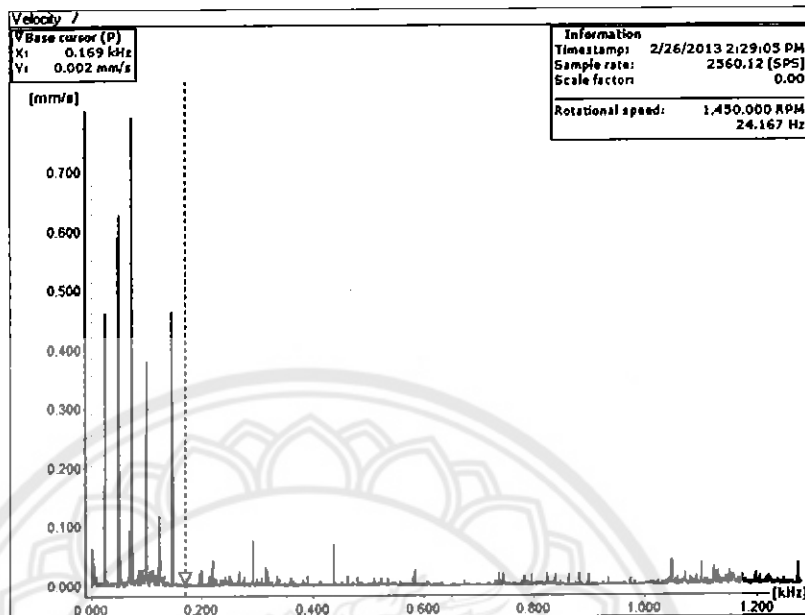
รูปที่ 6.4 สเปกตรัมของ ชุดมอเตอร์ขับปั๊มน้ำเย็นของระบบปรับอากาศแบบ Chiller



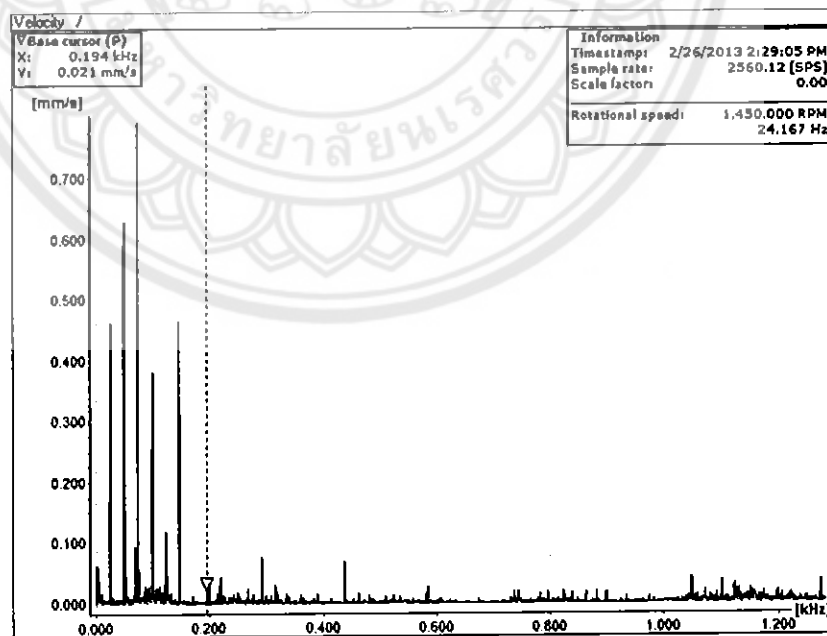
รูปที่ 6.5 สเปกตรัมของ ชุดมอเตอร์ขับปั๊มน้ำเย็นของระบบปรับอากาศแบบ Chiller



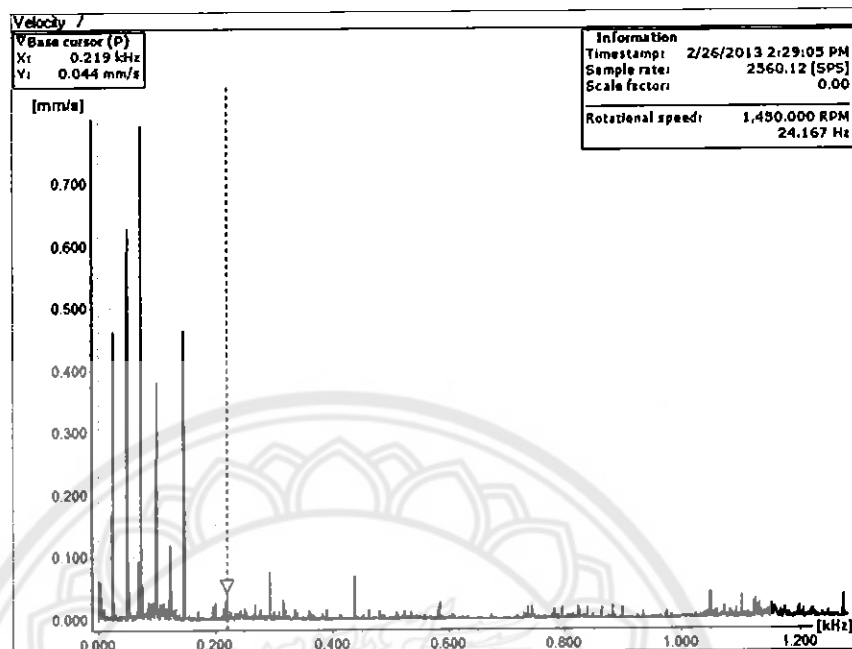
รูปที่ 6.6 สเปกตรัมของ ชุดมอเตอร์ขับปั๊มน้ำเย็นของระบบปรับอากาศแบบ Chiller



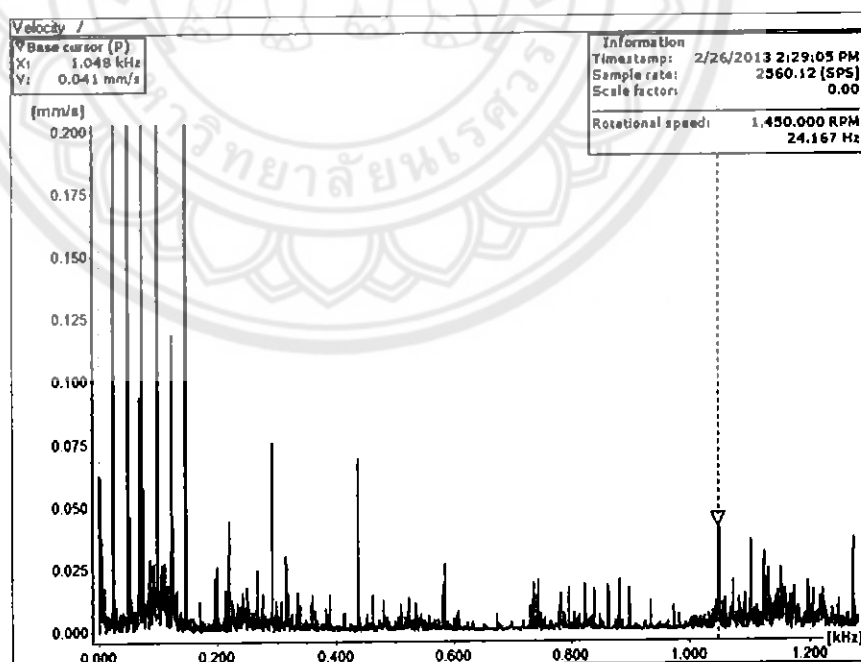
รูปที่ 6.7 สเปกตรัมของ ชุดมอเตอร์ขับปั๊มน้ำเย็นของระบบปรับอากาศแบบ Chiller



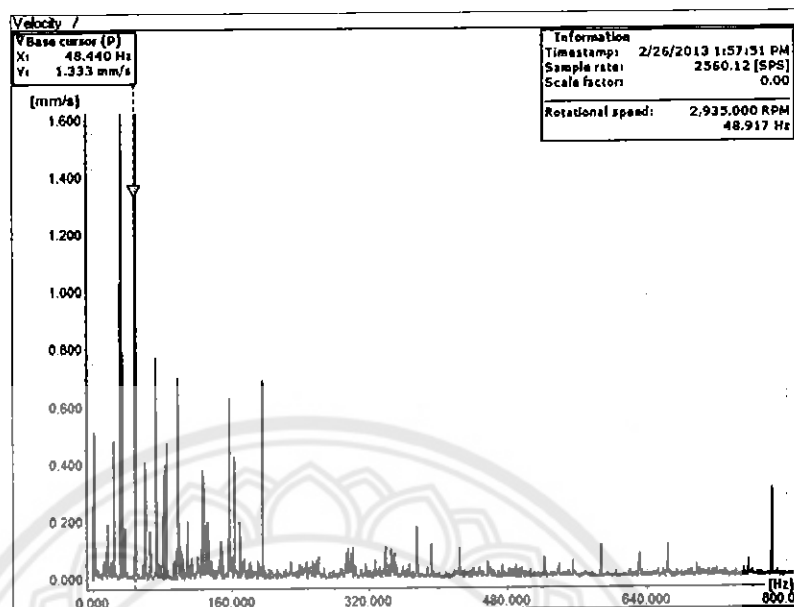
รูปที่ 6.8 สเปกตรัมของ ชุดมอเตอร์ขับปั๊มน้ำเย็นของระบบปรับอากาศแบบ Chiller



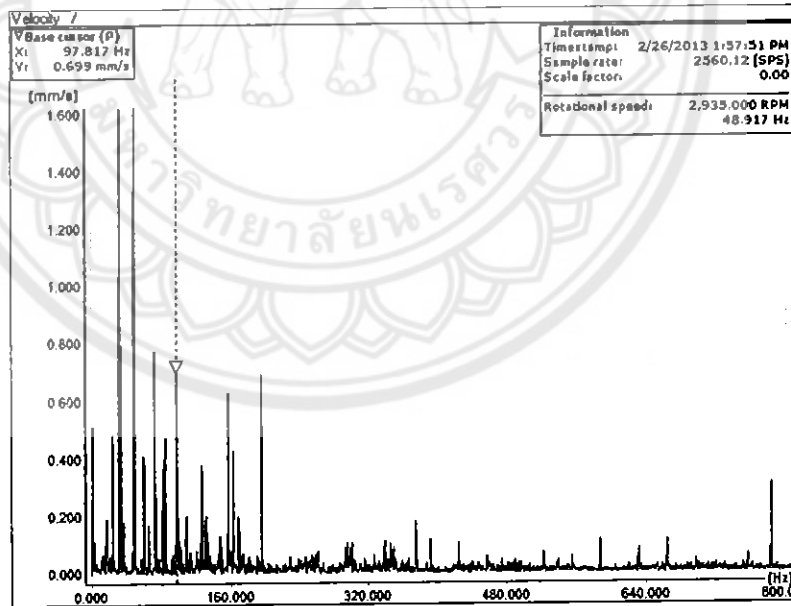
รูปที่ 6.9 สเปคตรัมของ ชุดมอเตอร์ขับปั๊มน้ำเย็นของระบบปรับอากาศแบบ Chiller



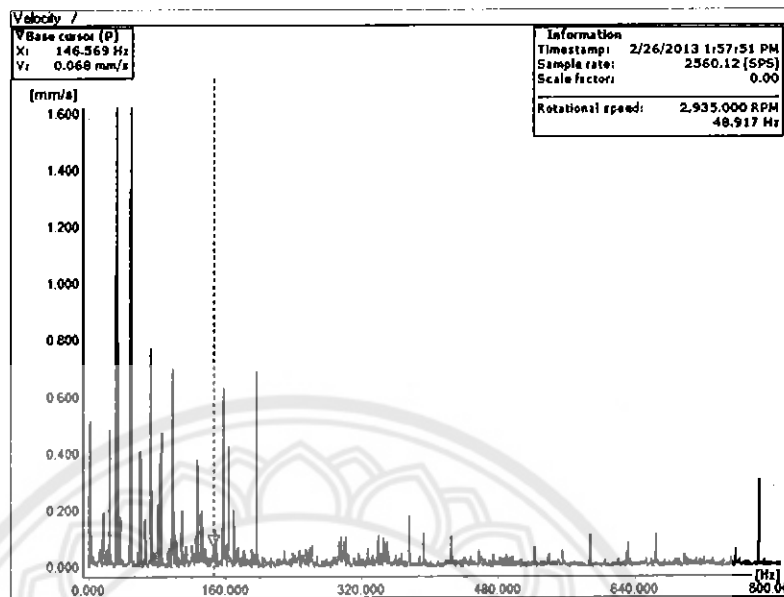
รูปที่ 6.10 สเปคตรัมของ ชุดมอเตอร์ขับปั๊มน้ำเย็นของระบบปรับอากาศแบบ Chiller
(ขยายสเกลเพื่อเพิ่มความละเอียด)



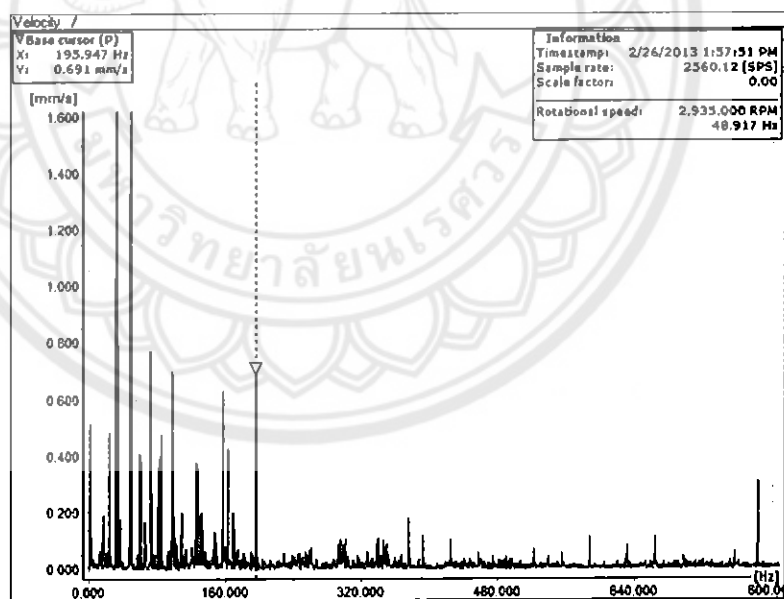
รูปที่ 6.11 สเปกตรัมชุดปั๊มน้ำสุขาภิบาล



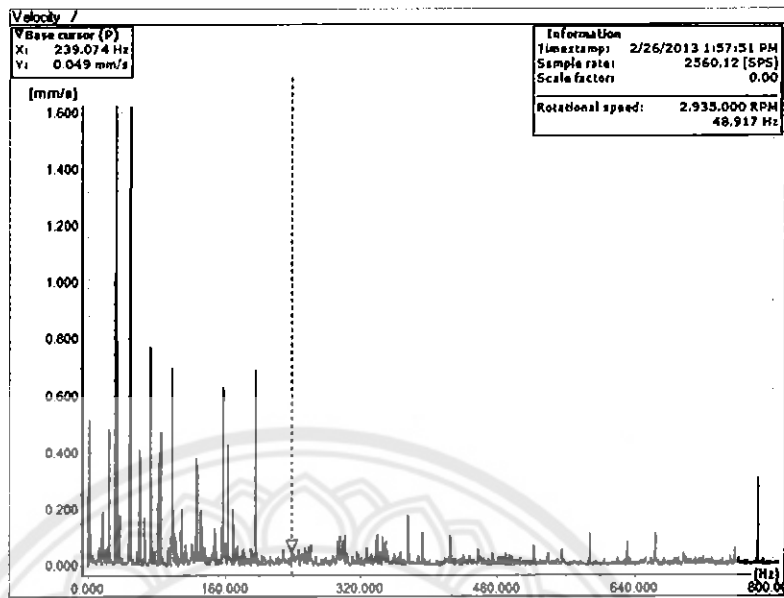
รูปที่ 6.12 สเปกตรัมชุดปั๊มน้ำสุขาภิบาล



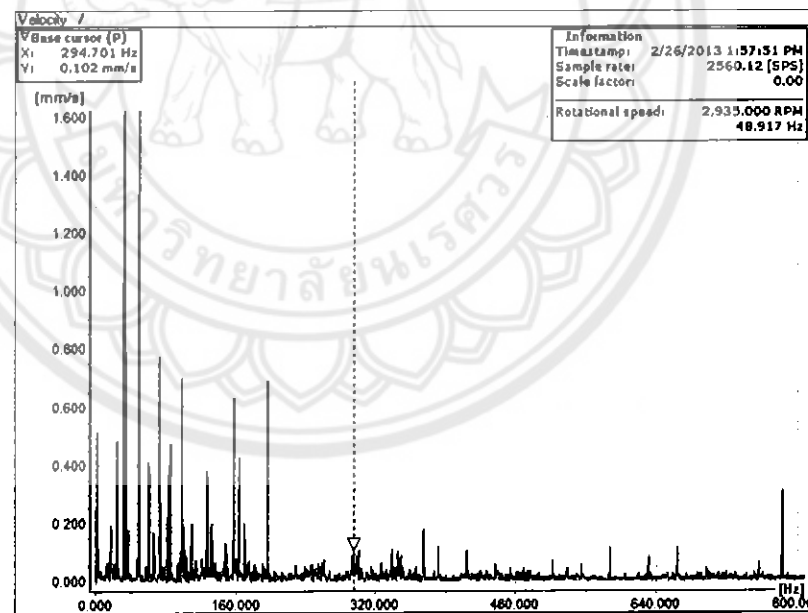
รูปที่ 6.13 สเปกตรัมชุดปืนน้ำสุขาภิบาล



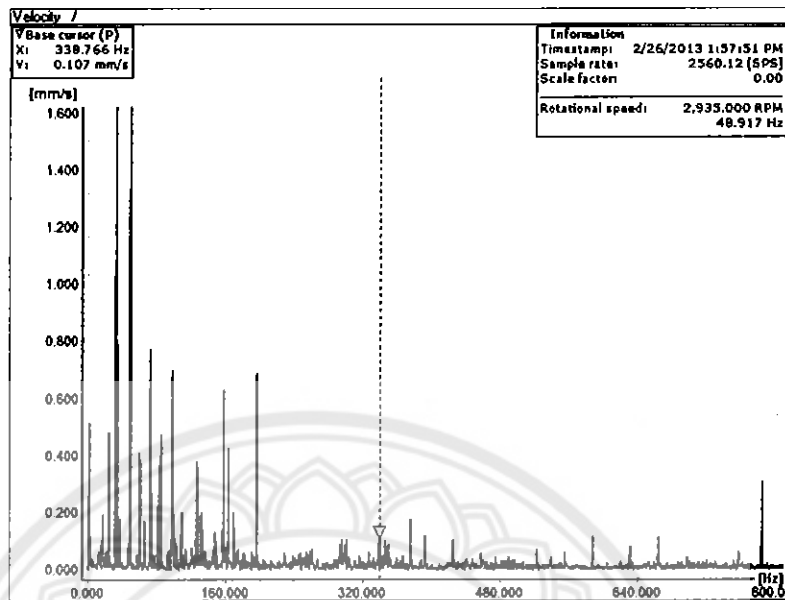
รูปที่ 6.14 สเปกตรัมชุดปืนน้ำสุขาภิบาล



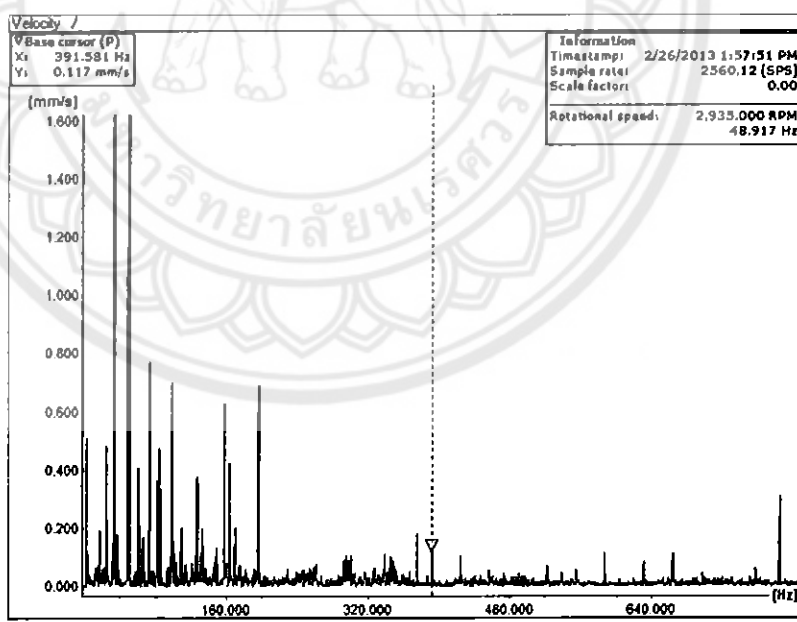
รูปที่ 6.15 สเปกตรัมชุดปืนน้ำสุขาภิบาล



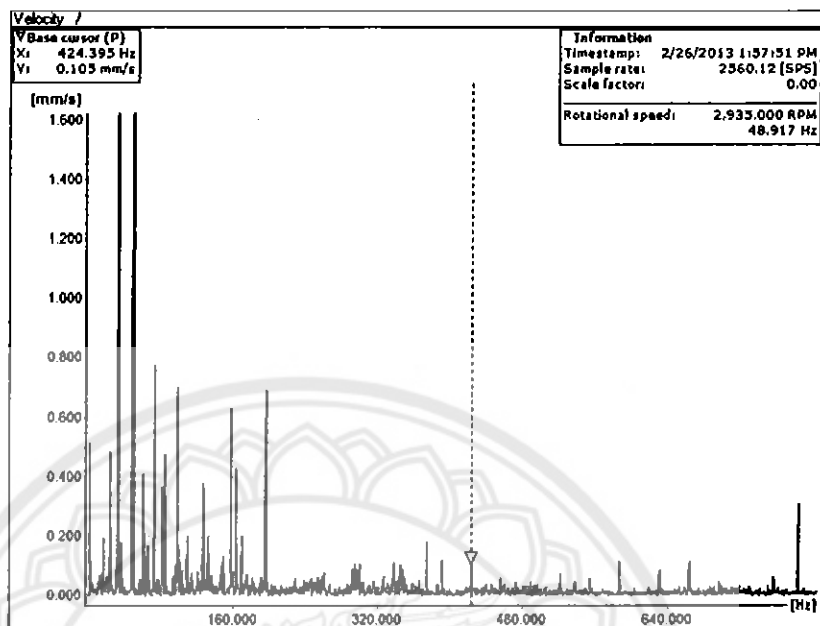
รูปที่ 6.16 สเปกตรัมชุดปืนน้ำสุขาภิบาล



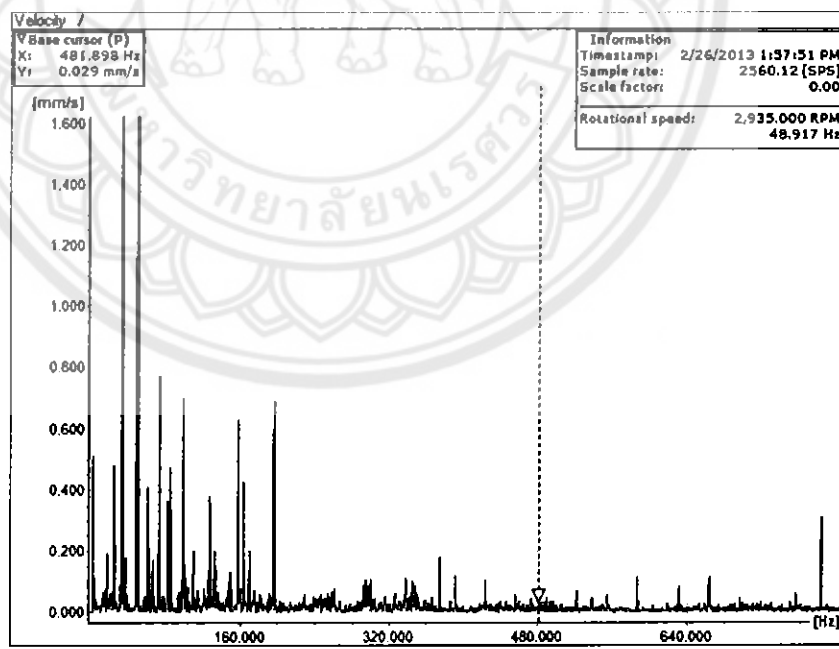
รูปที่ 6.17 สเปกตรัมชุดปืนน้ำสุขาภิบาล



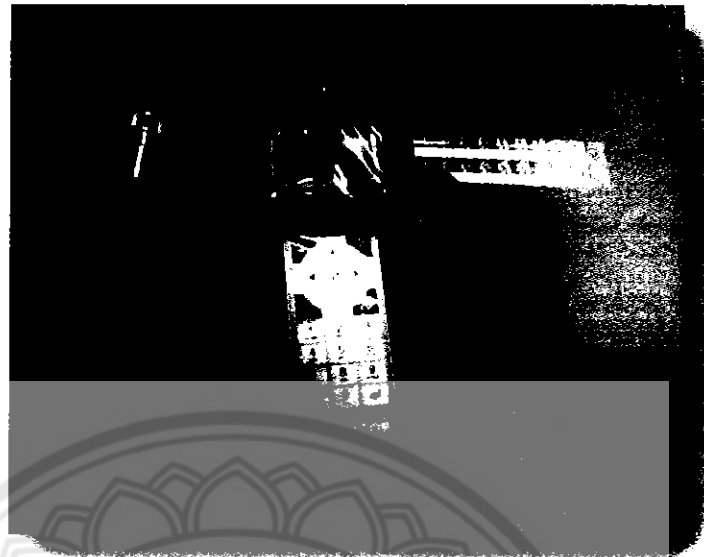
รูปที่ 6.18 สเปกตรัมชุดปืนน้ำสุขาภิบาล



รูปที่ 6.19 สเปคตรัมชุดปั๊มน้ำสุขาภิบาล



รูปที่ 6.20 สเปคตรัมชุดปั๊มน้ำสุขาภิบาล



รูปที่ 6.21 เครื่องมือวัดความสั่นสะเทือน Detector III



รูปที่ 6.22 ชุดทดลองปั๊มภาควิชาวิศวกรรมเครื่องกล
(เลขครุภัณฑ์ 4320-006-015 งปม.2540)